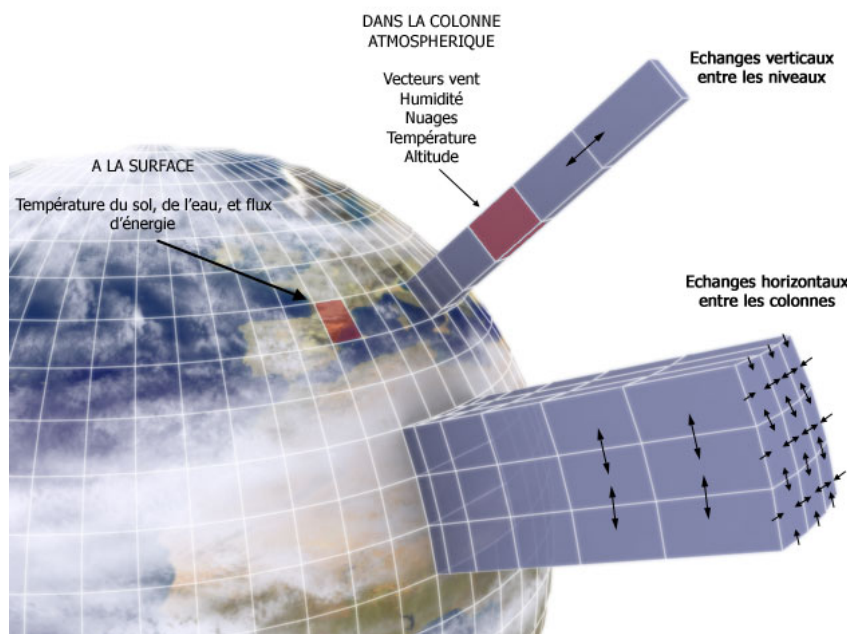


Modélisation des interactions chimie-aérosols / climat pour l'AR5

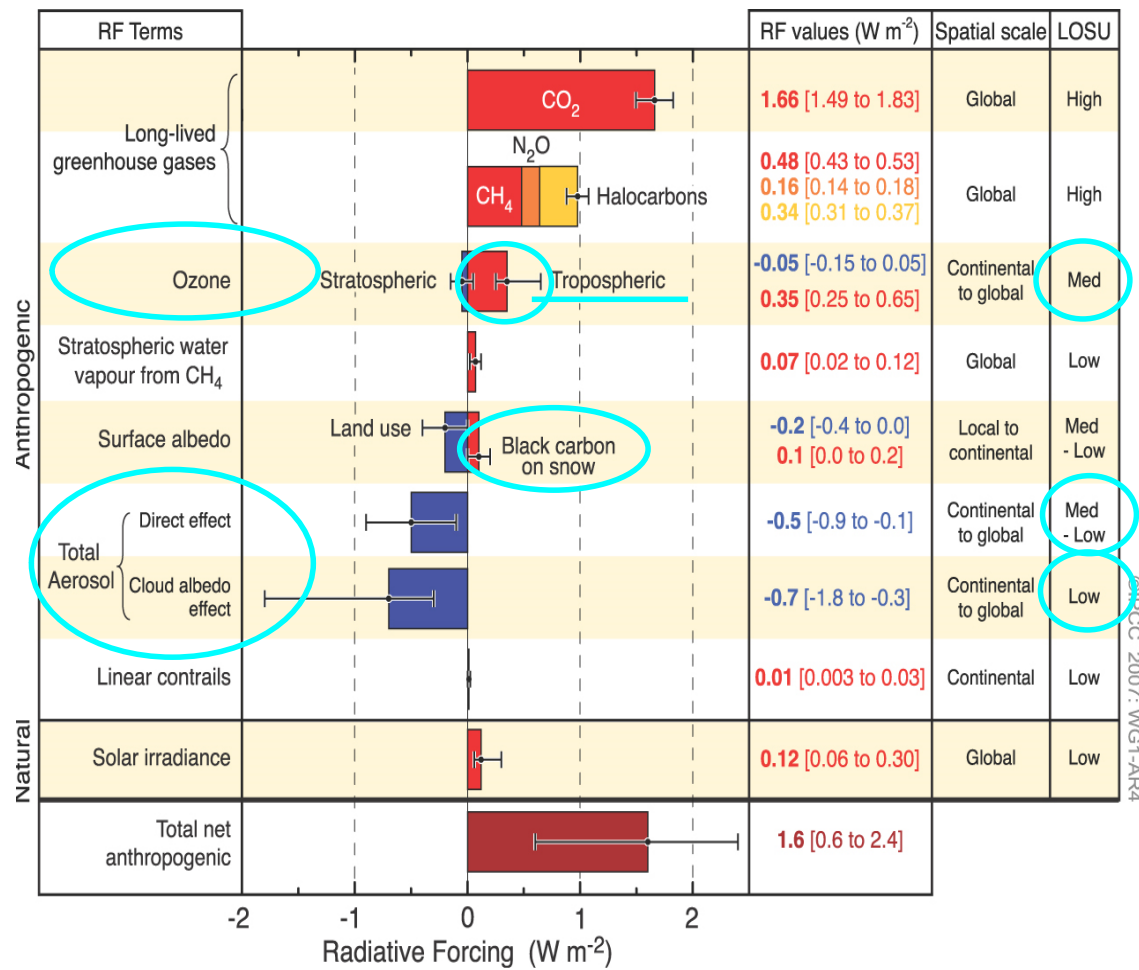
Sophie Szopa

Céline Déandreis, Yves Balkanski, Michael Schulz,
Anne Cozic, Nicolas Yan, Sébastien Denvil, David Cugnet,
Arnaud Caubel, Martial Mancip, Nathalie De Noblet ...



Modélisation des interactions chimie-aérosols / climat pour l'AR5

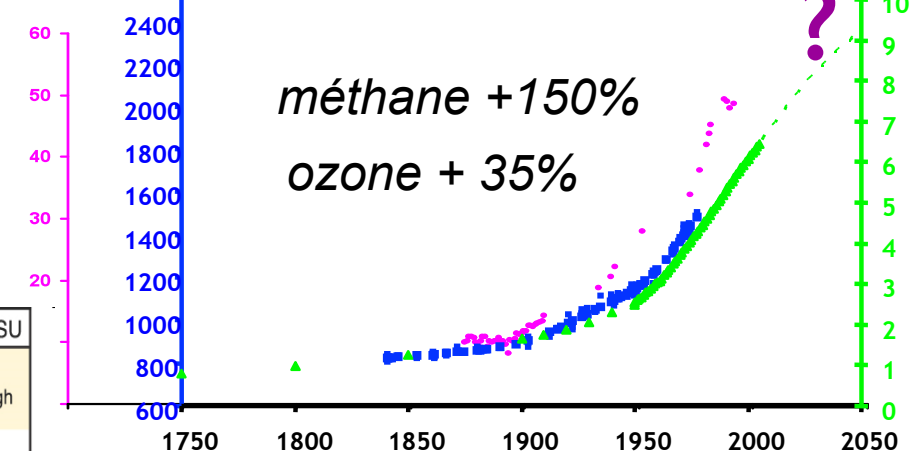
Pourquoi?



ozone (ppb)
Marenco et al. 1994

methane (ppb)
Etheridge et al. 1994

population mondiale
(milliard d'habitants)
U.S.Bureau of Census



méthane +150%
ozone + 35%

$\text{CH}_4=17\%$, $\text{O}_3=13\%$ de l'effet positif

Aérosols, effet négatif env 90%
de effet du CO_2

UNE INCERTITUDE ÉLEVÉE

Modélisation des interactions chimie-aérosols / climat pour l'AR5

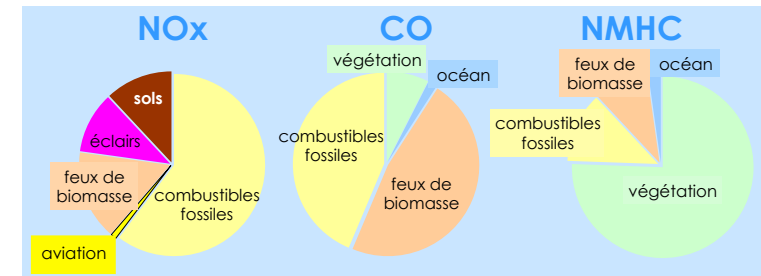
Pourquoi cette grande incertitude?

Ozone et aérosols cachent de **nombreuses espèces** à documenter:

Ozone : plusieurs milliers de précurseurs représentés par quelques dizaines dans modèles

Aérosols : black carbon + sulphates + dust + nitrates + SOA en mélanges interne et externe
(distributions en taille/masse complexes)

Des **sources multiples** (naturelles et anthropiques) et variables dans le temps (var saisonnière et interannuelle)

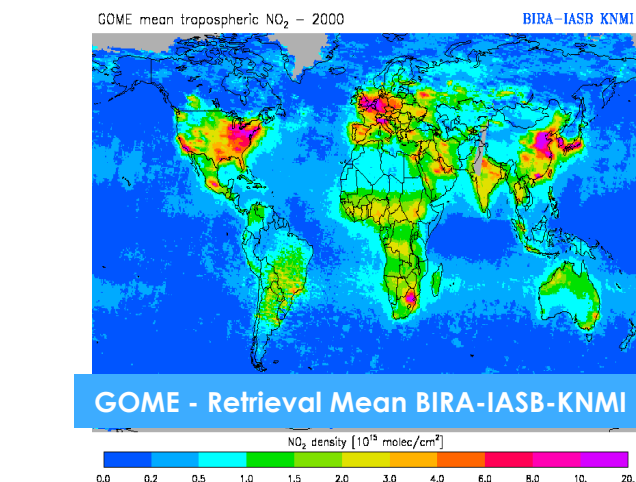


Des espèces réactives chimiquement (non linéarité)

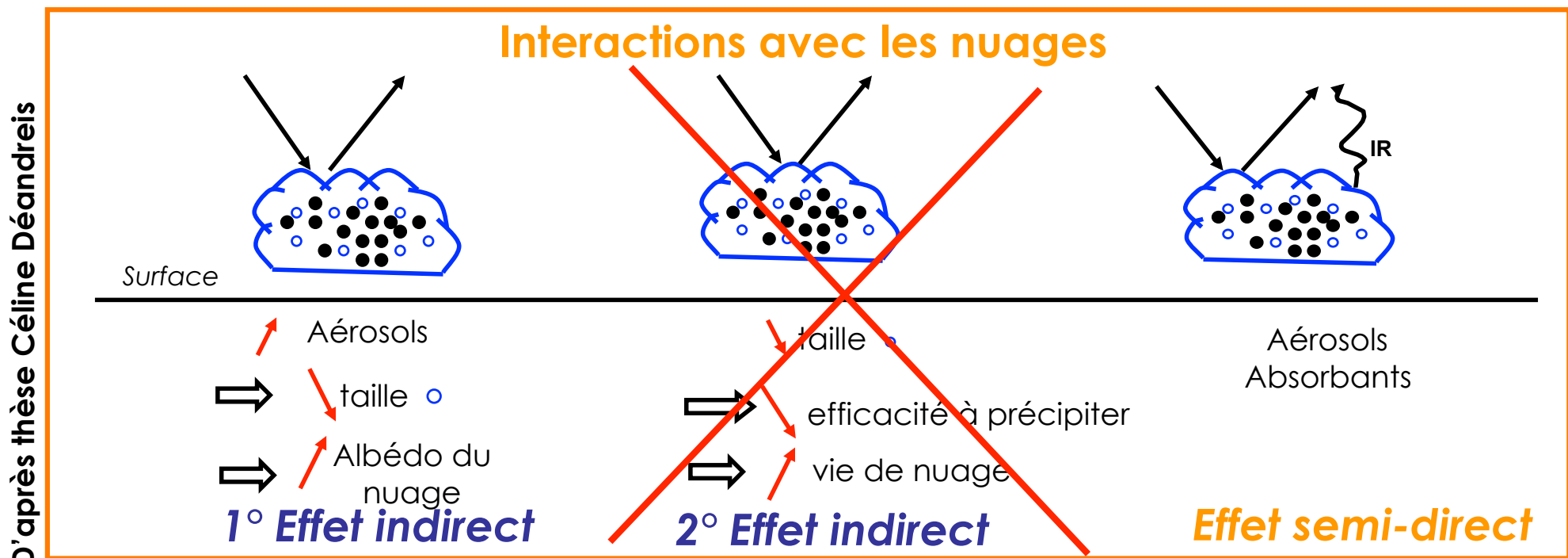
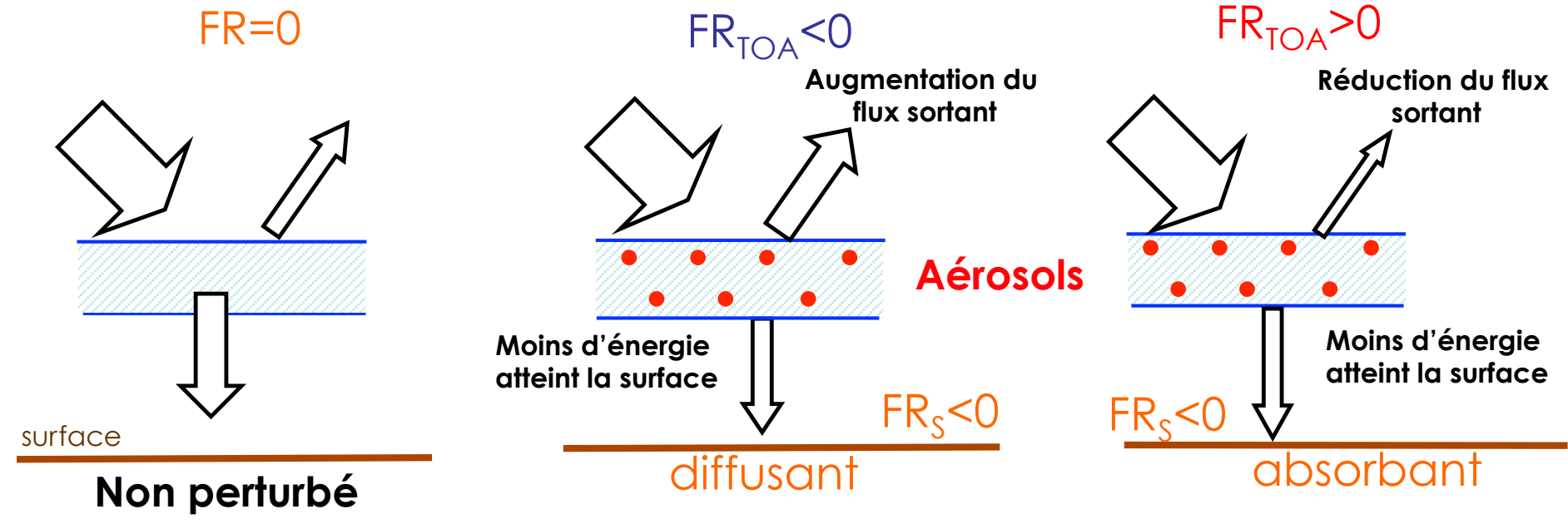
→ Forte variabilité spatiale et temporelle

→ Incertitude **sur distribution** horizontale et verticale présente (+ IAV)

→ Très grande incertitude répartition passée



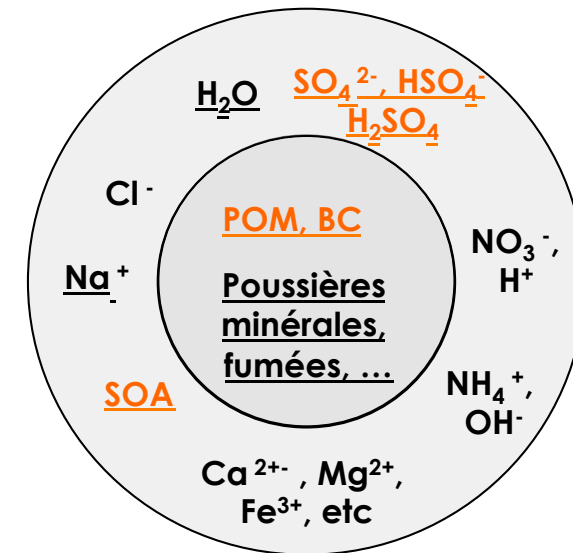
Les aérosols et le climat: Effet direct



Modélisation des interactions chimie-aérosols / climat pour l'AR5

Pourquoi cette grande incertitude?

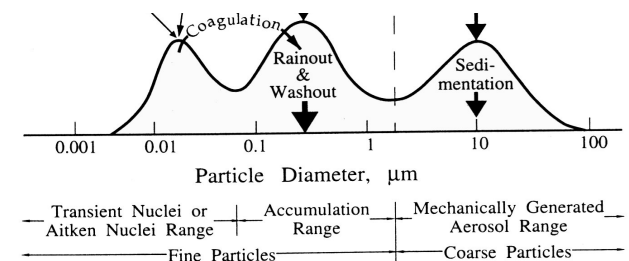
Difficulté à caractériser les propriétés optiques et hygroscopiques



Composition variée

→ Incertitude sur effet indirect ?

→ Incertitude sur impact radiatif?



Taille variée

Modélisation des interactions chimie-aérosols / climat pour l'AR5

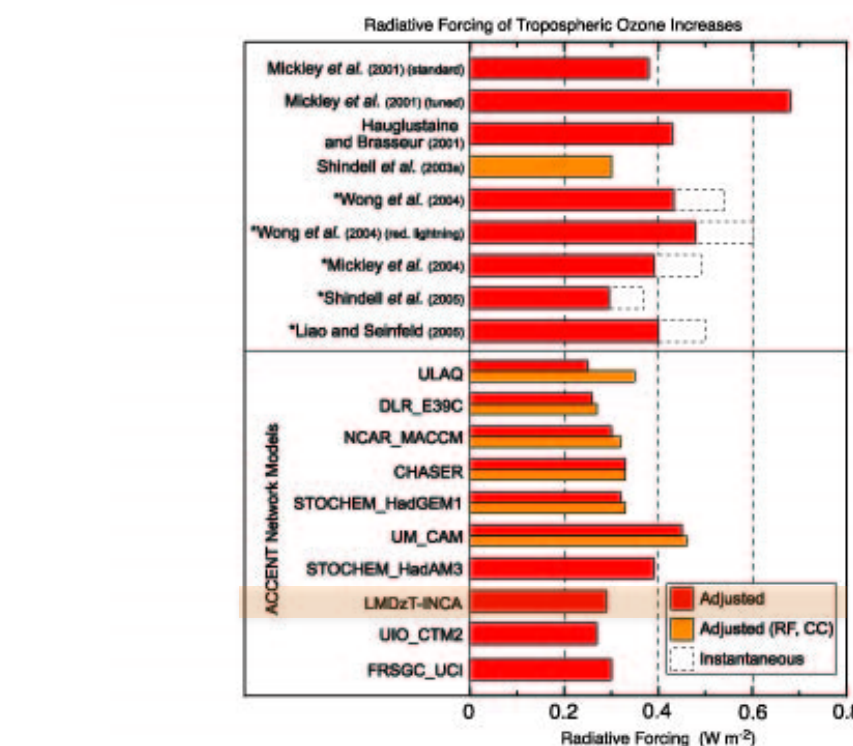
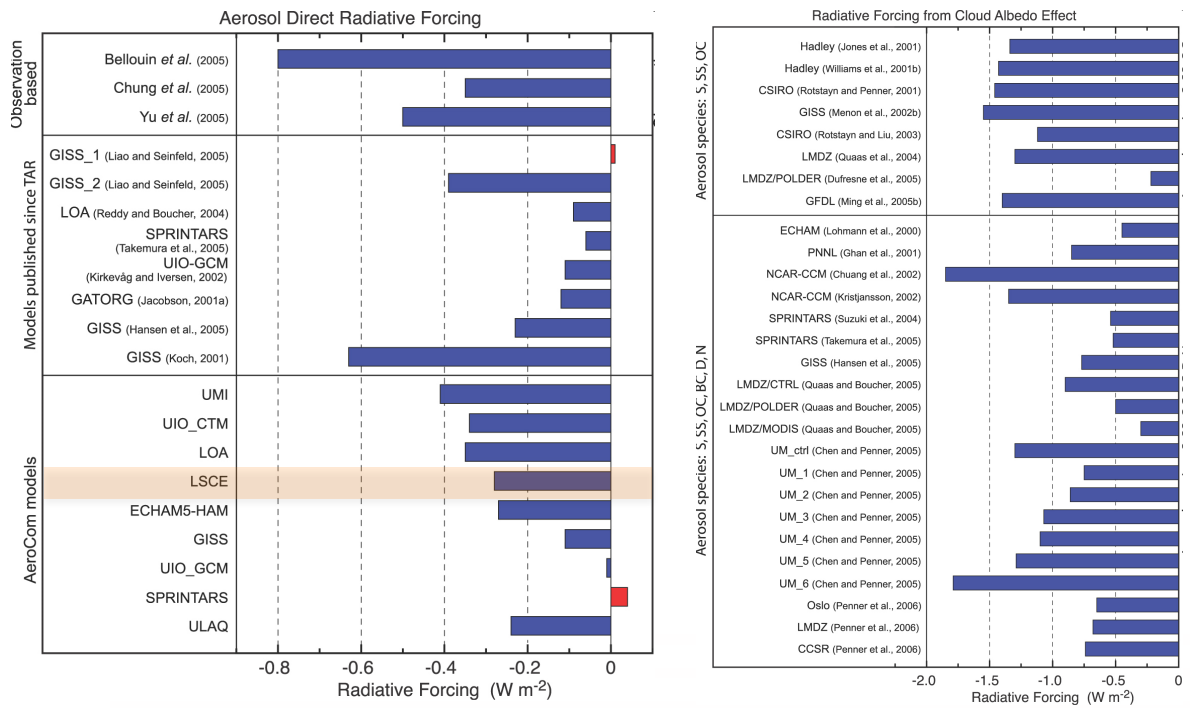
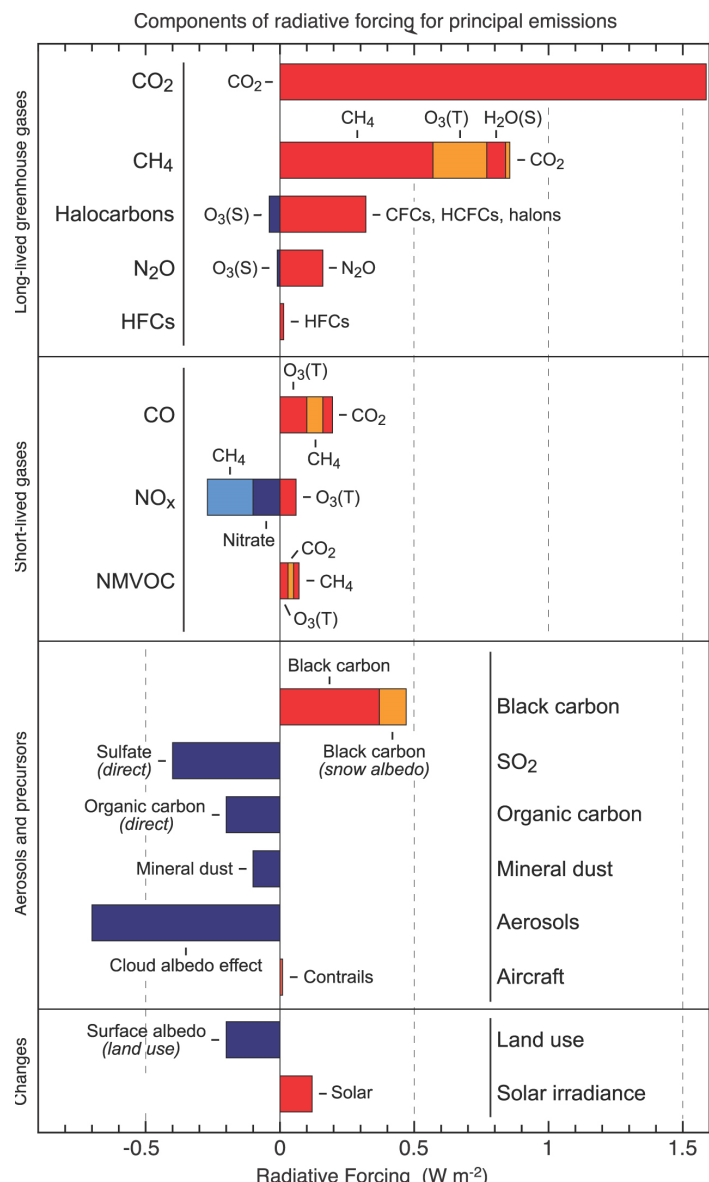
Comment quantifier le forçage?

Modèles couplés système Terre car effets régionaux très élevés -> non linéarité (mais temps de calculs élevés)

Comment mieux caractériser la distribution des composés gazeux ou aérosols et discriminer les différents effets pour diminuer les incertitudes?

Modèles chimie-climat (type LMDzINCA) sous réserve de disponibilité d'inventaires d'émissions

AR4

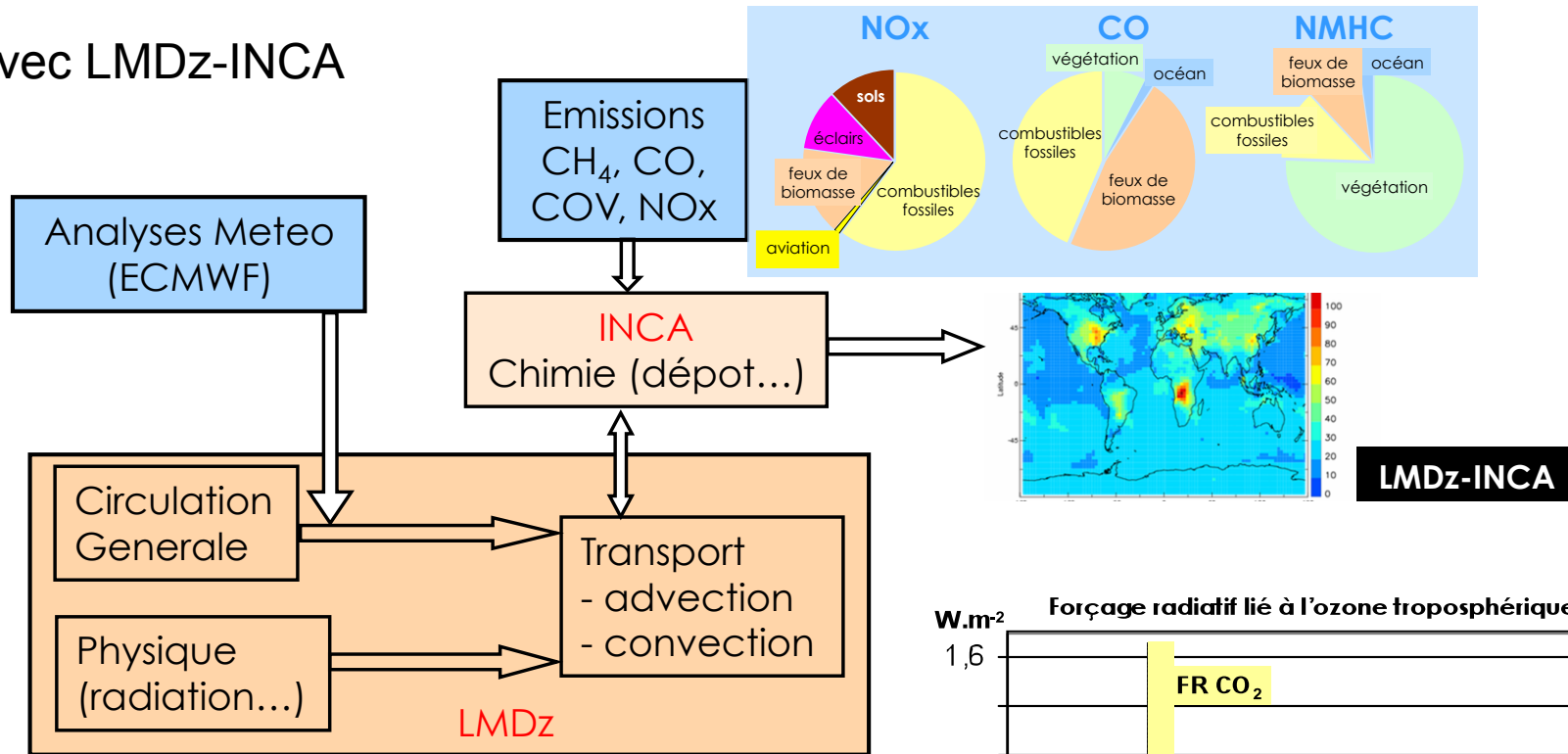


Modélisation des interactions chimie-aérosols / climat pour l'AR5

Pour l'AR4?

Coté **chimie-aérosols**

Avec LMDz-INCA

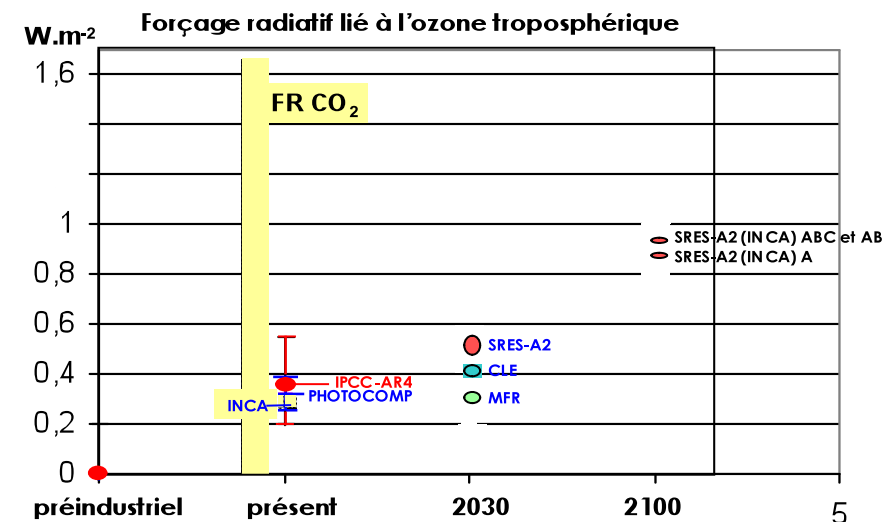


Exercice international
coordonné PHOTOCOMP

26 ctm

Seulement 10 gcm

Snapshot preind/present/2030 (faute
d'émissions et CPU [1an=~4.5heures])

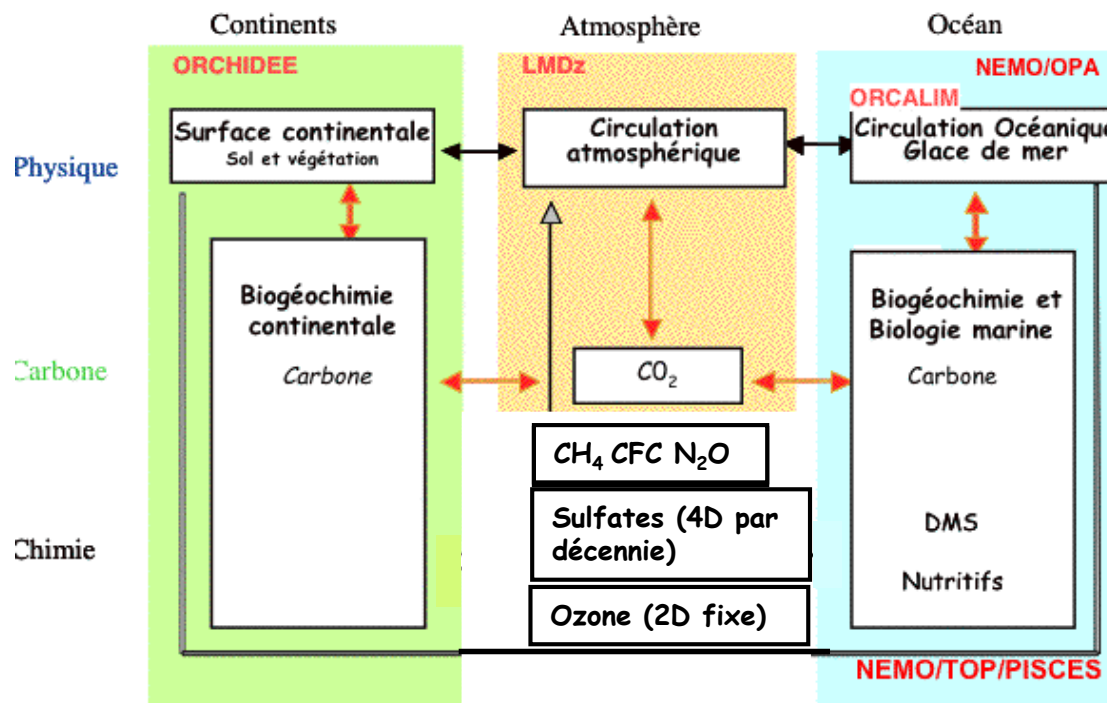


Modélisation des interactions chimie-aérosols / climat pour l'AR5

AR4

Coté Climat

Dans le couplé IPSL

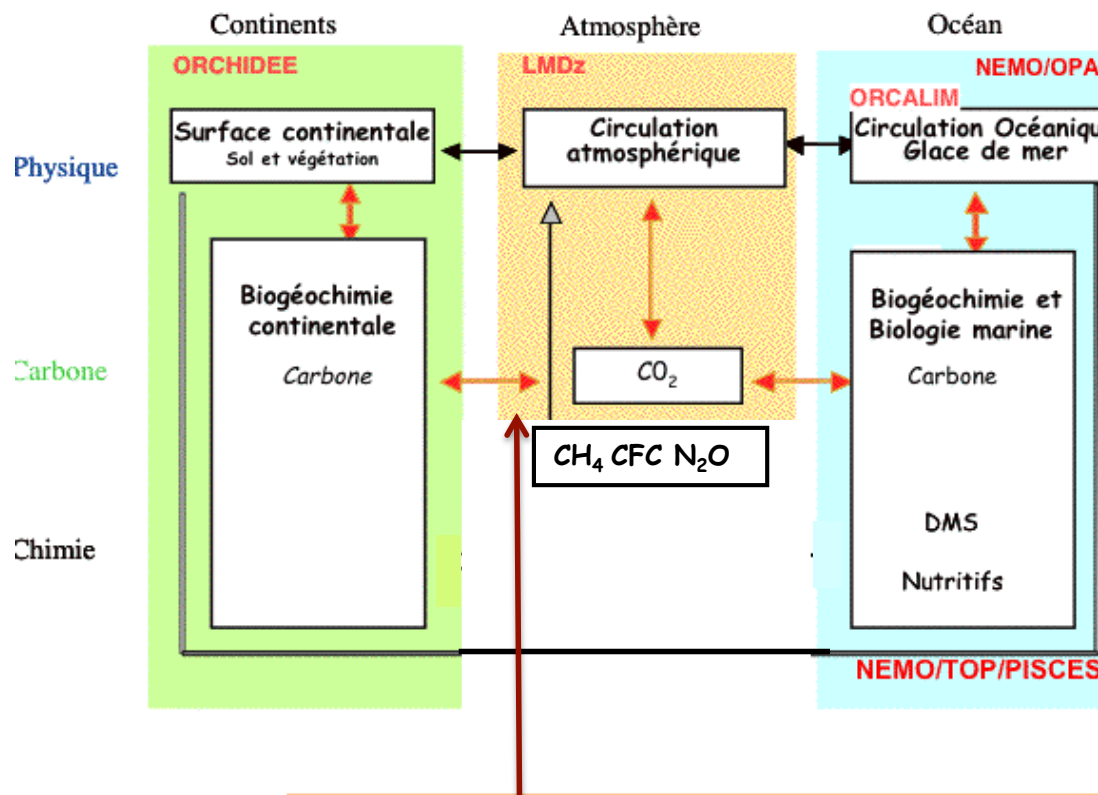


Modélisation des interactions chimie-aérosols / climat pour l'AR5

AR5

Coté Climat

Dans le couplé IPSL-CM5 A



NB envoi à MeteoFrance de :
OD550_BCM black carbon
OD550_POMM particulate organic matter
OD550_SSM sea salt
OD550_SO4M sulfate
OD550_total somme de tous

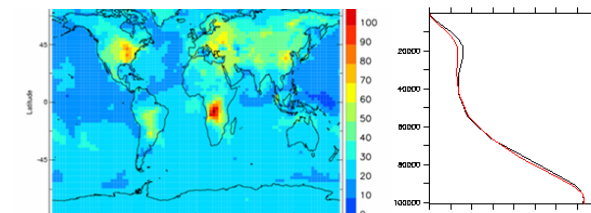
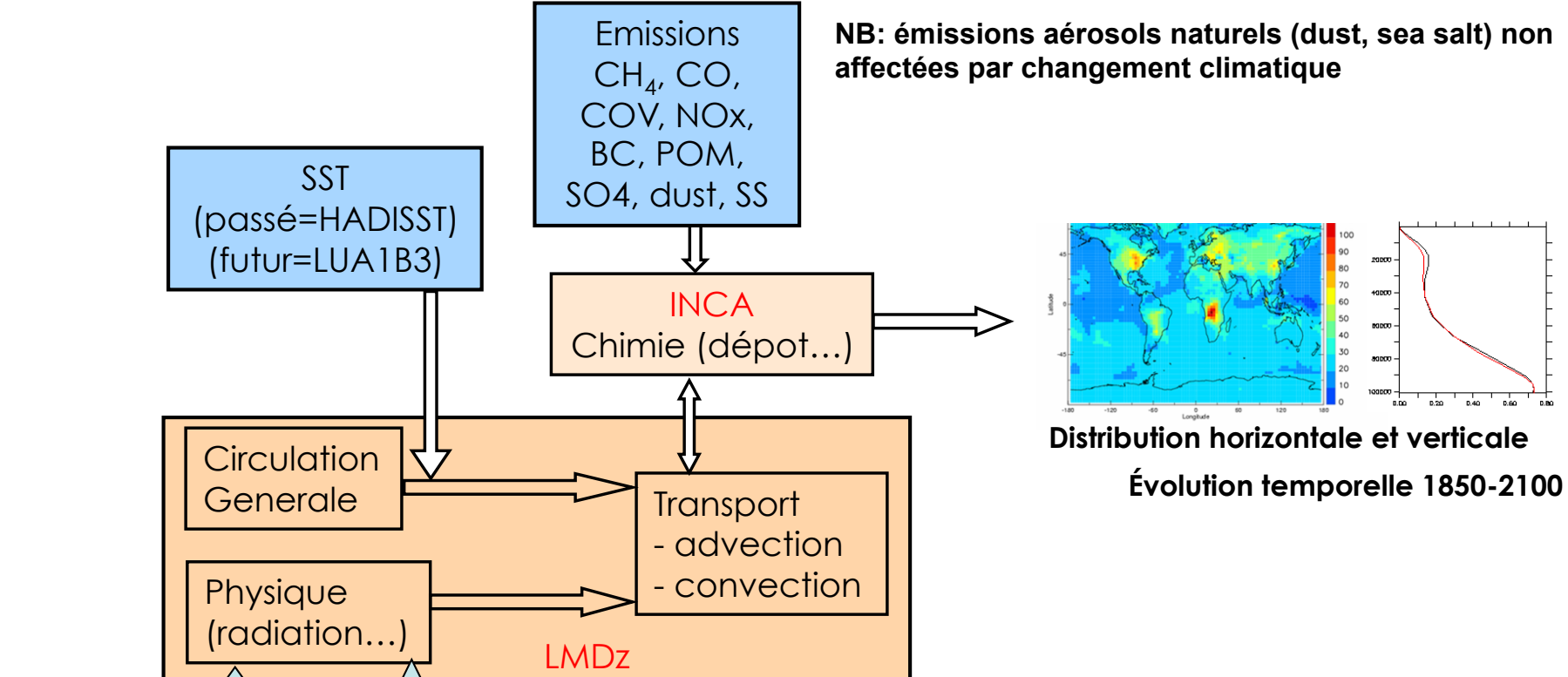
Aérosols organiques
Black carbon
Sulphates
Dust
Sea Salt
Ozone tropo

Précalculés avec LMDz-INCA
de 1850 à 2100

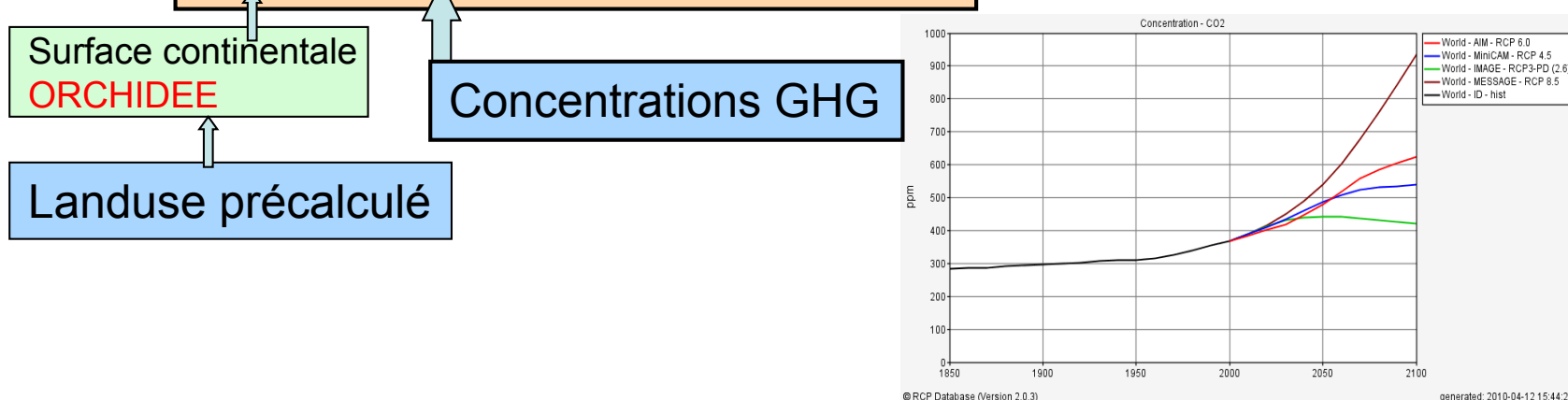
Modélisation des interactions chimie-aérosols / climat pour l'AR5

Préparation des forcages chimie-aérosols

Avec LMDz-INCA



Distribution horizontale et verticale
Évolution temporelle 1850-2100

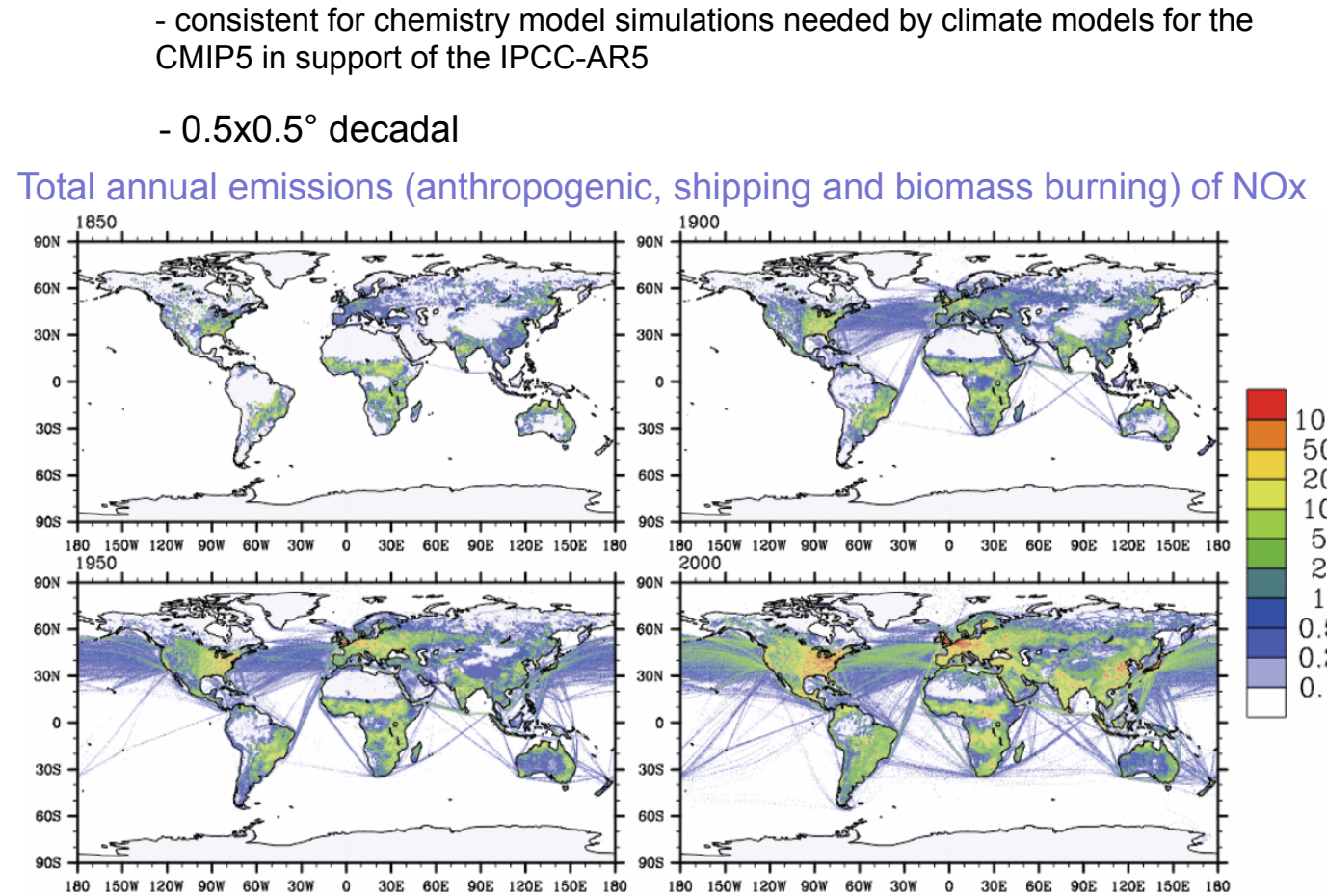
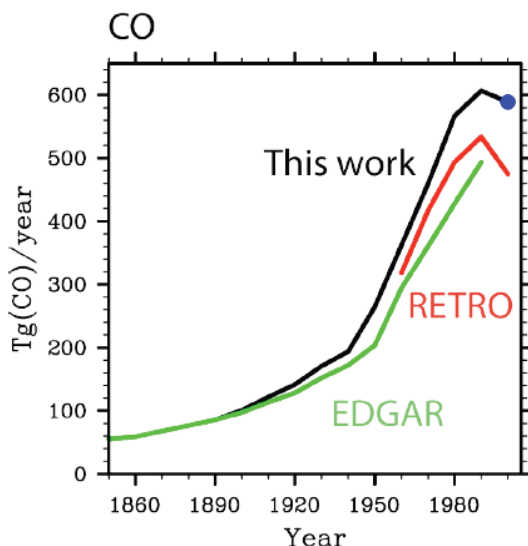


Modélisation des interactions chimie-aérosols / climat pour l'AR5

Préparation des forcages chimie-aérosols

Quelles émissions?

**Historical (1850–2000)
gridded anthropogenic and
biomass burning emissions
of reactive gases and
aerosols: methodology and
application**
J.-F. Lamarque et al., ACPD,
2010



- for the year 2000 inventory represents a combination of **existing regional and global inventories** to capture the best information available at this point; 40 regions and 12 sectors are used to combine the various sources. The historical reconstruction of each emitted compound, for each region and sector, is then forced to agree with our 2000 estimate, ensuring **continuity between past and 2000 emissions**.

NMVOC speciation

name	molecular weight	comments
alcohols	46.2	assumed C ₂ H ₅ OH
ethane	30.0	
propane	44.0	
butanes	57.8	
pentanes	72.0	
hexanes and higher	106.8	
ethene	28.0	
propene	42.0	
ethyne	26.0	
other alkenes and alkynes	67.0	
benzene	78.0	
toluene	92.0	
xylene	106.0	
trimethyl benzenes	120.0	
other aromatics	126.8	
esters	104.7	surrogate species = CH ₃ C(O)O(CH ₂) _n CH ₃
ethers	81.5	surrogate species = CH ₃ CH ₂ O(CH ₂) _n CH ₃
chlorinates HC	138.8	
methanal (CH ₂ O)	30.0	
other alkanals	68.8	
ketones	75.3	
acids	59.1	
other VOC	68.9	use median C ratio of other compounds

Source types:

Aircraft

Anthropogenic

Biomass burning

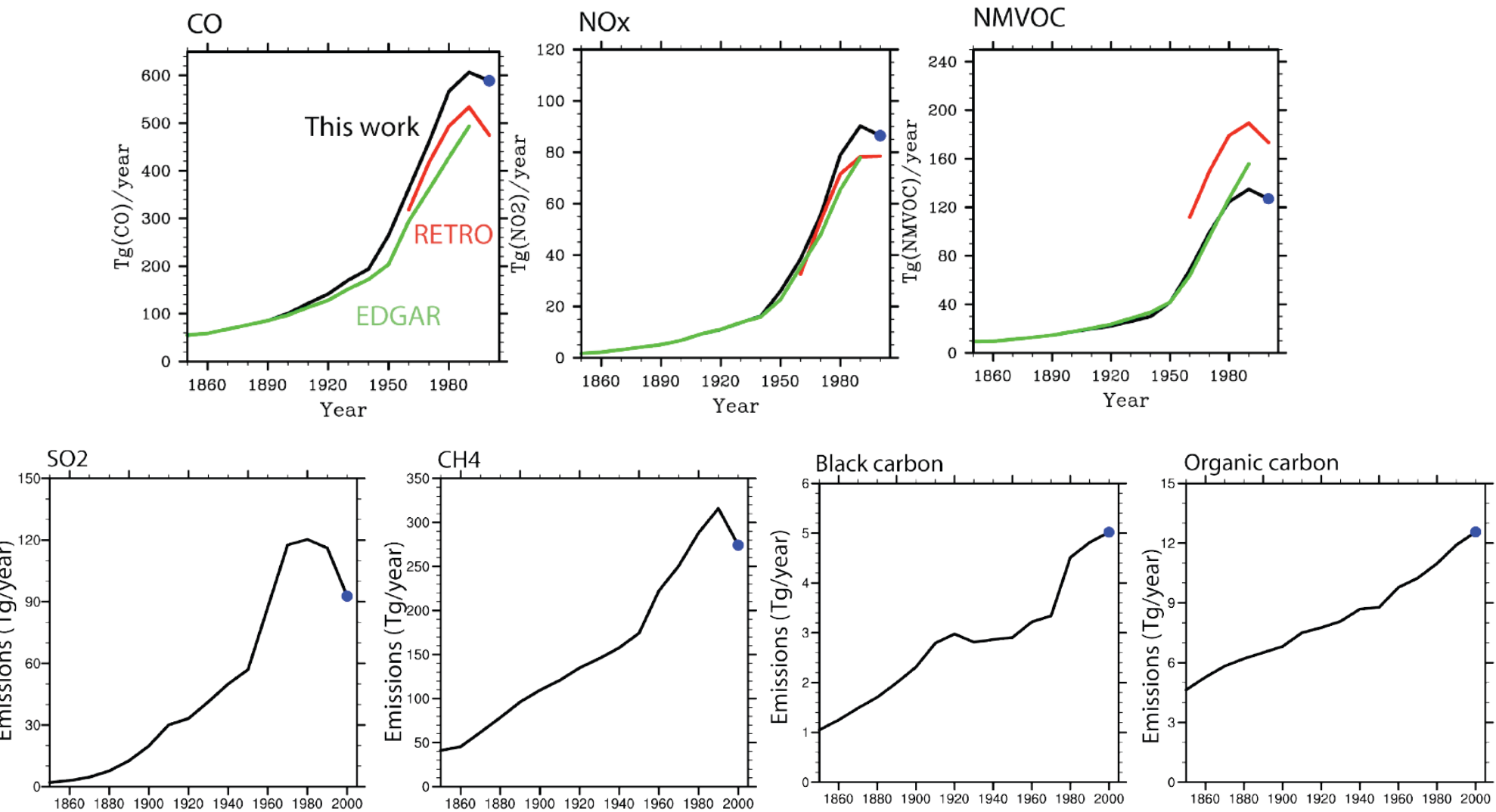
Ship

- + black carbon
- + organic carbon
- + NH₃
- + SO₂
- + CH₄

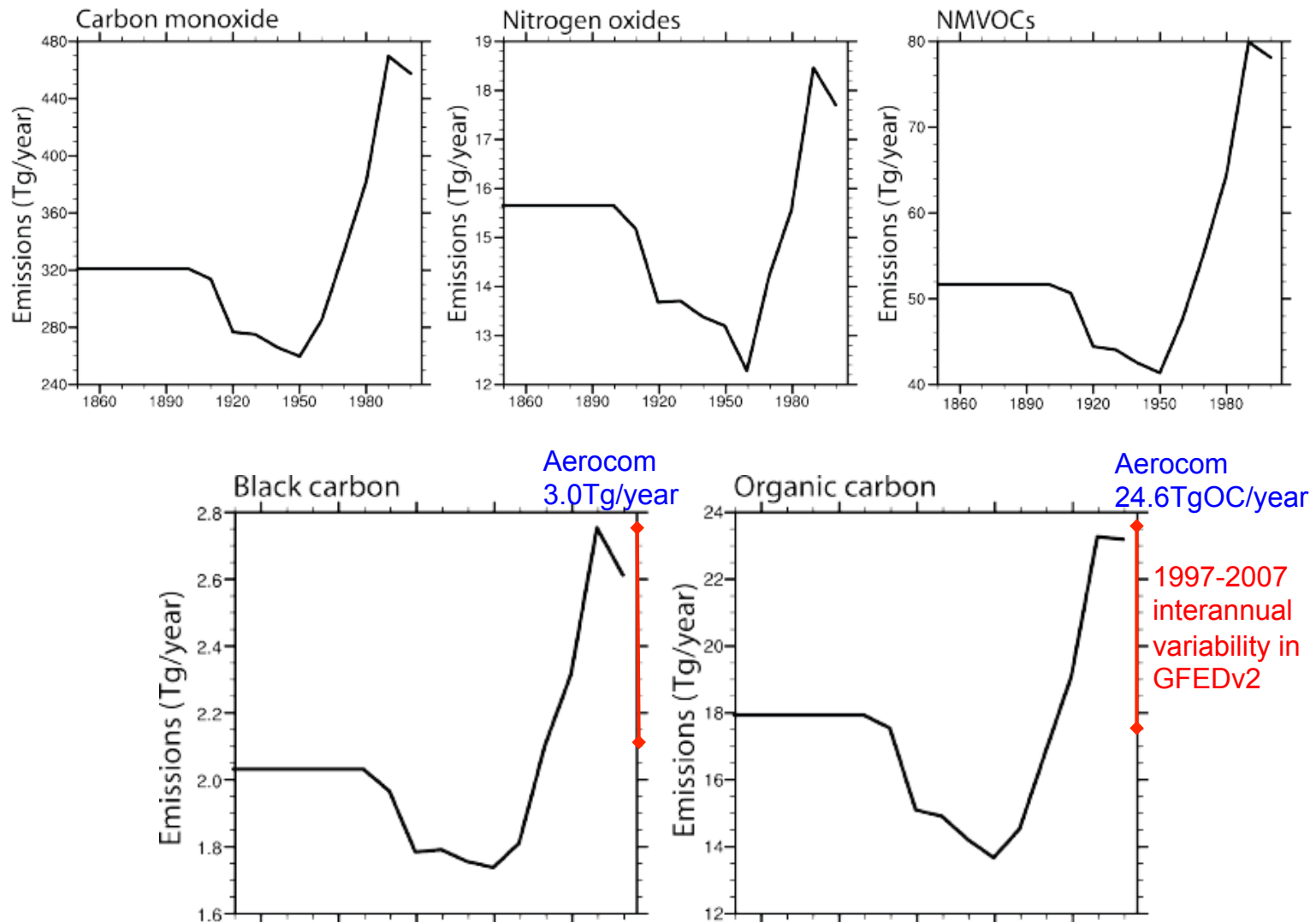
90 files per decades

1350 fichiers (~60 Go) à

- regriller en 96x95
- sommer avec sources naturelles non fournies
- remettre dans les espèces spécifiques du schéma chimique d'INCA



Time evolution of the total (sum of all sectors) land anthropogenic emissions

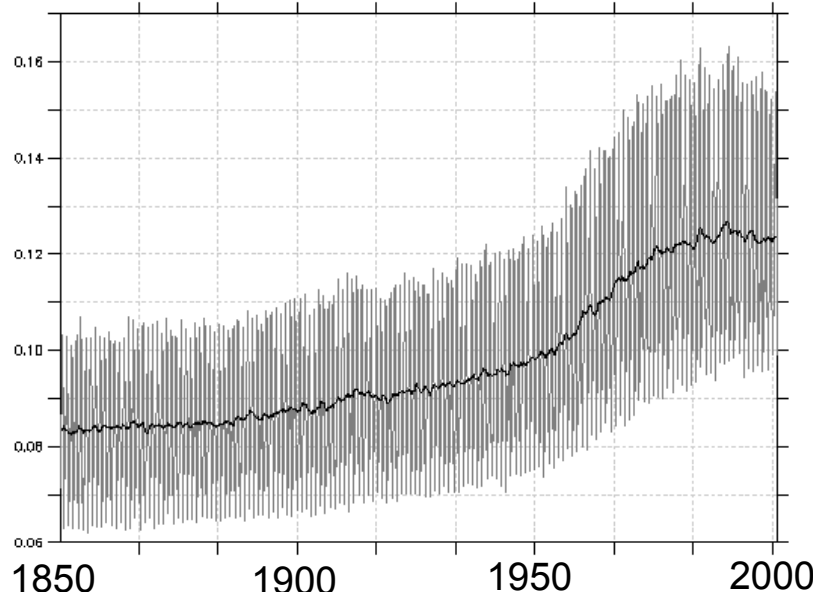


Time evolution of the total **open biomass burning** (forest and grassland) emissions

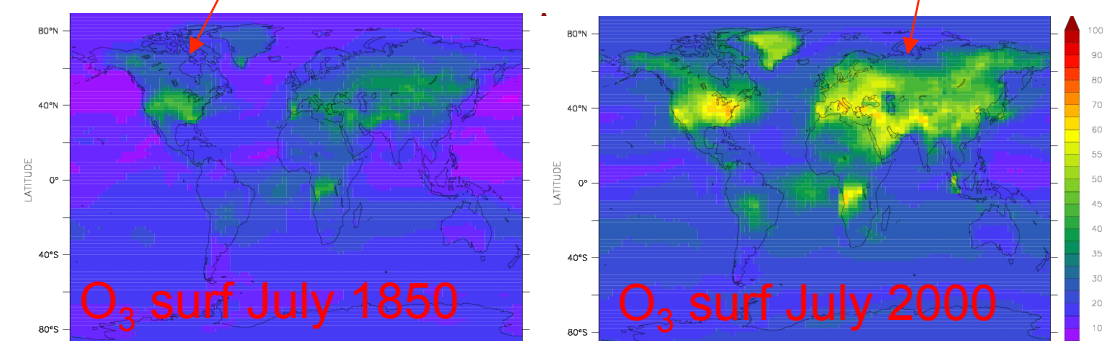
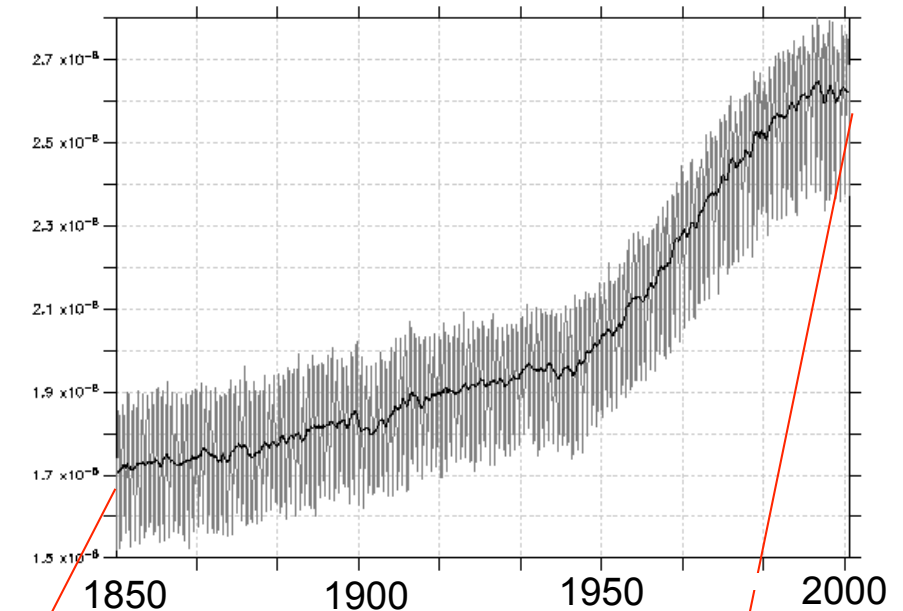
Modélisation des interactions chimie-aérosols / climat pour l'AR5

Run 1850-2000

Total aerosol optical depth (550nm)



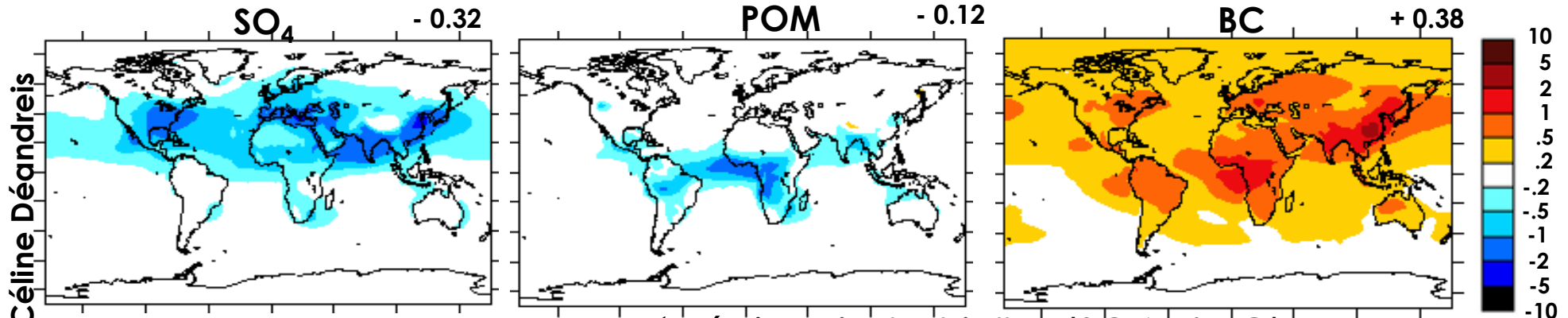
Surface ozone



Combiné avec O₃ strato de reprobus
(en 2D) pour couplé

Distribution de l'effet direct

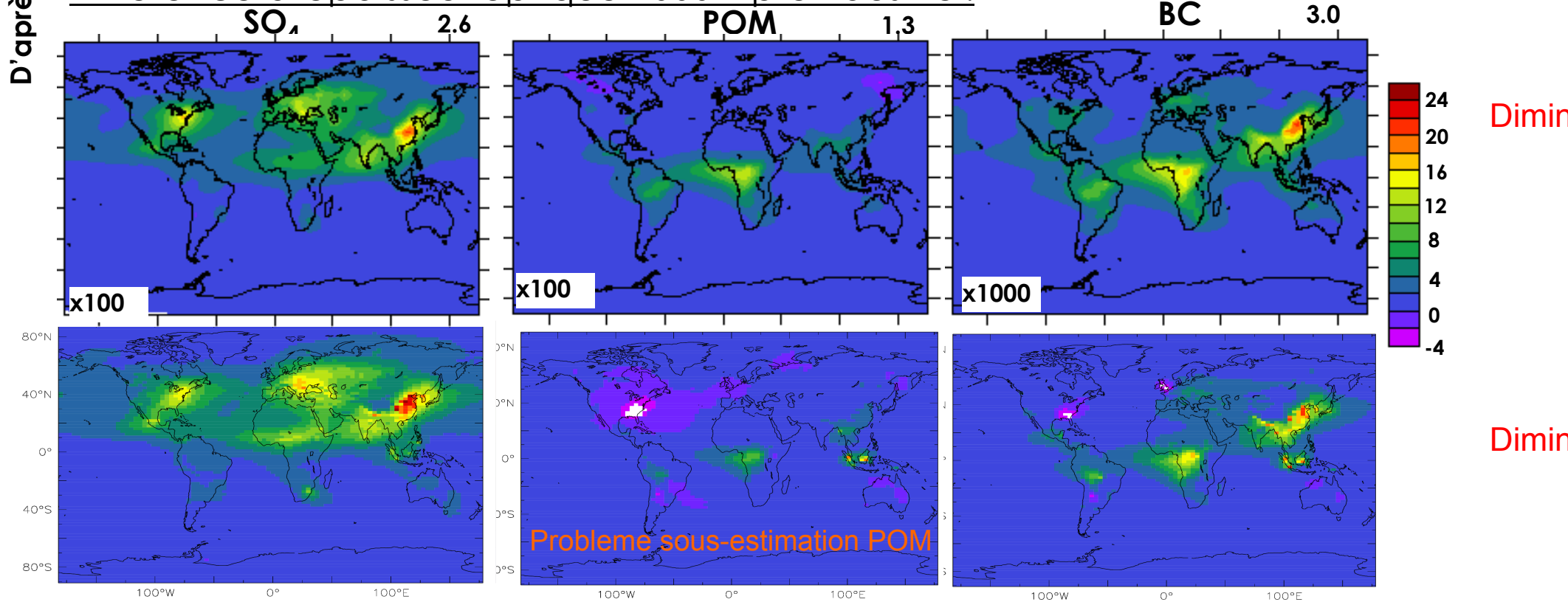
Forçage radiatif en W.m⁻²:

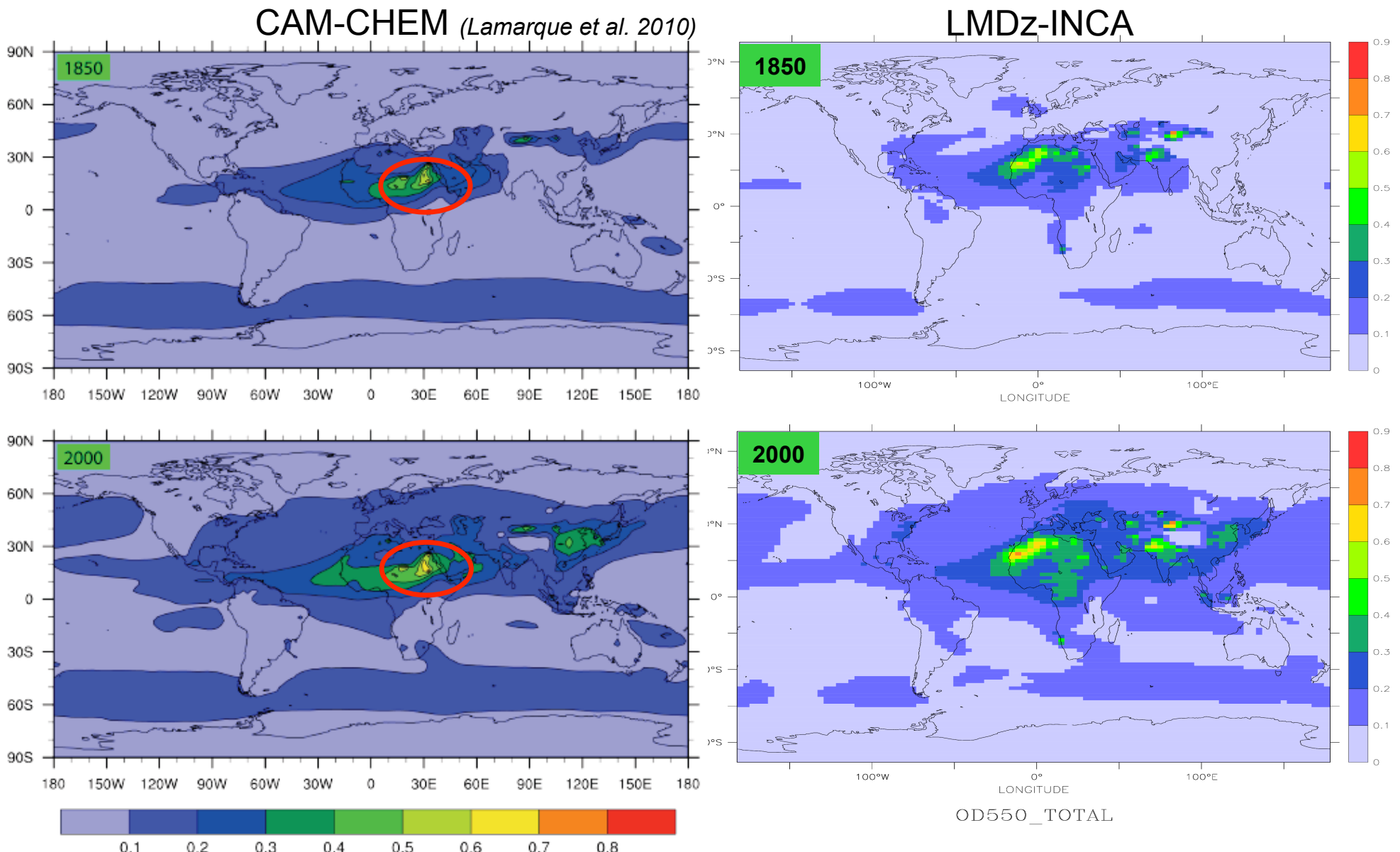


Impact régional

- ✓ Régions industrielles (SO₄ et BC)
- ✓ Régions de feux de biomasses (POM et BC)

Dépendance Céline Déandrea





Total (natural and anthropogenic) aerosol optical depth at 550nm (decadal average) for 1850 and 2000.

Global burden for anthropogenically-perturbed aerosols

	1850	2000
Sulfate		
Burden (mg(SO ₄)/m ²)	1.55 0.86	3.65 3.10
Black carbon		
Burden (mg(C)/m ²)	0.09 0.09	0.24 0.23
Organic carbon		
Burden (mg(C)/m ²)	0.64 1.34	1.04 1.87

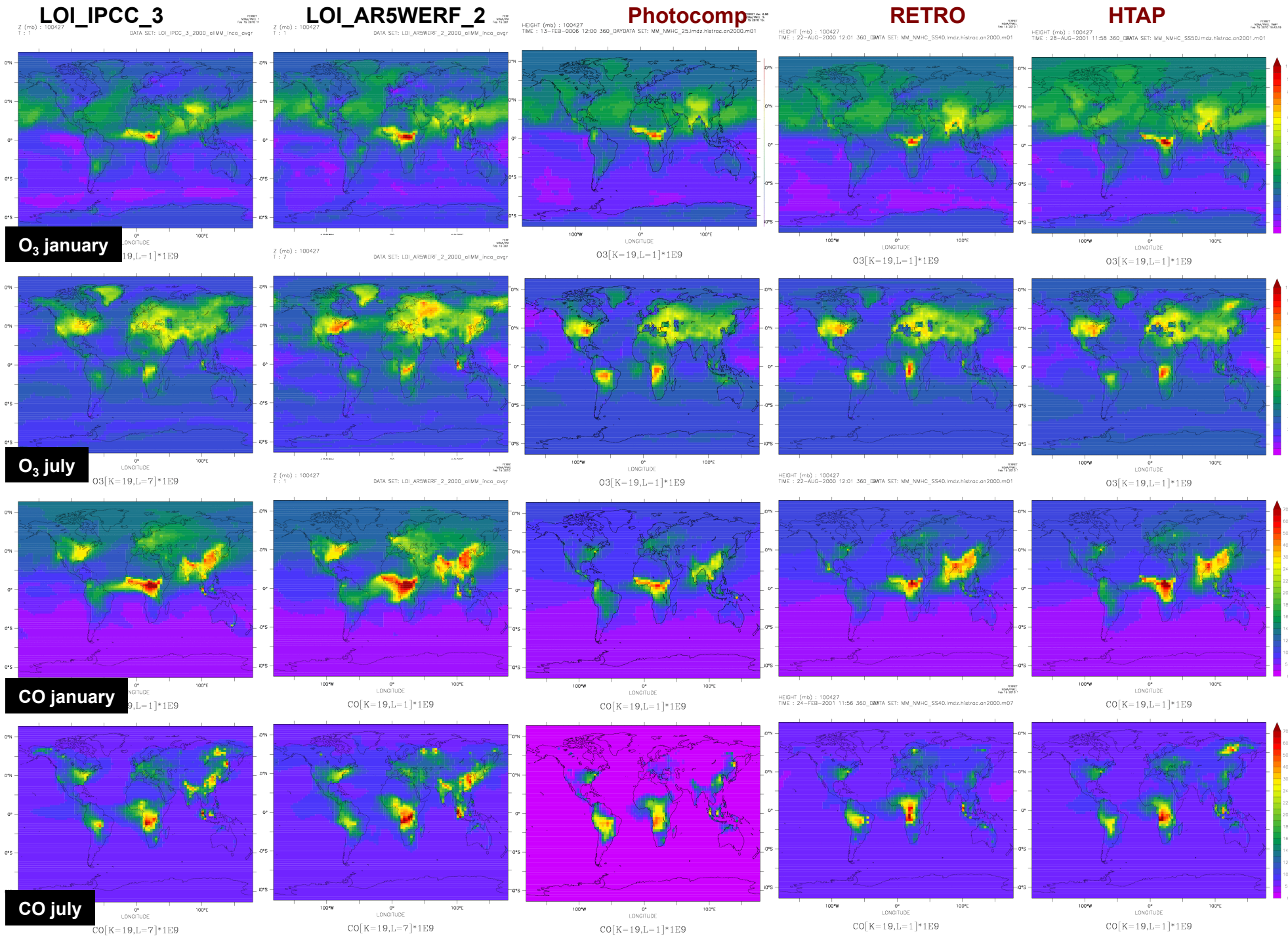
CAM-chem simulation
LMDz-INCA simulation
(DMS différent et OH)

CAM-chem simulation
LMDz-INCA simulation

CAM-chem simulation
LMDz-INCA simulation (*ajout SOA prescrit dans aerocom*)

Comparaisons pour 2000 avec d'autres runs

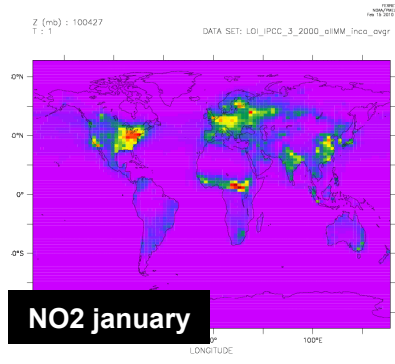
LMDz3 INCA2



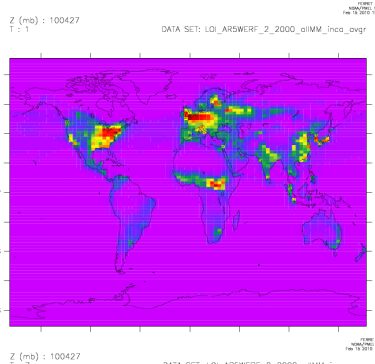
Comparaisons en 2000 avec d'autres runs

LMDz3 INCA2

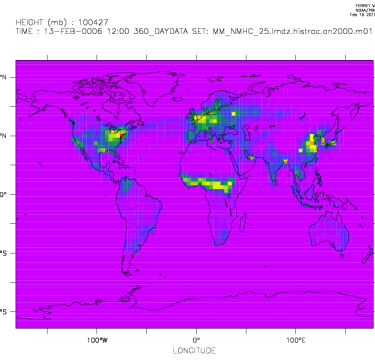
LOI_IPCC_3



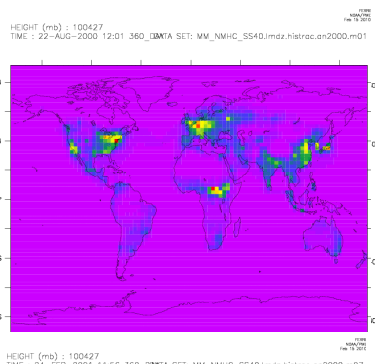
LOI_AR5WERF_2



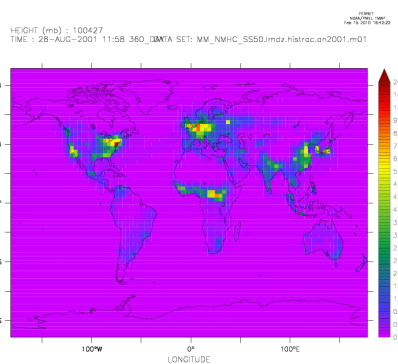
Photocomp



RETRO

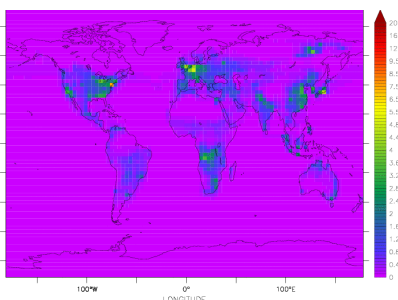
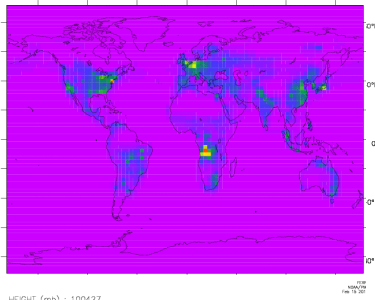
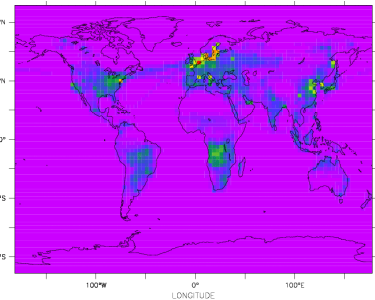
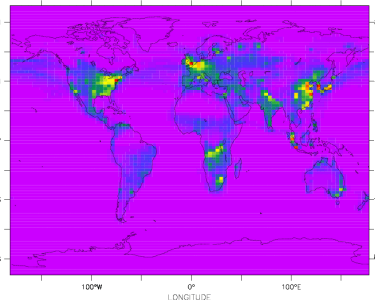
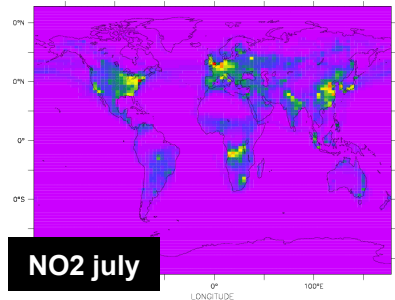


HTAP



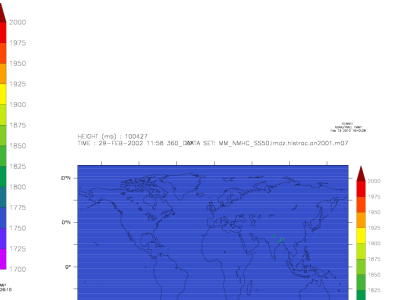
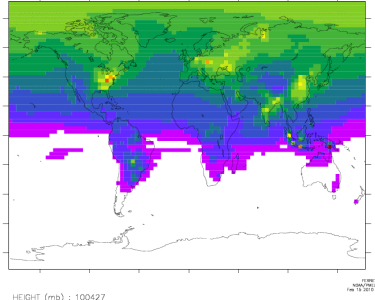
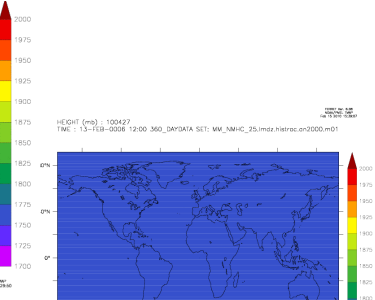
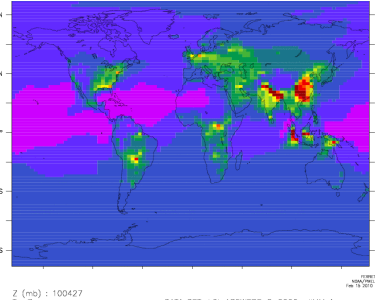
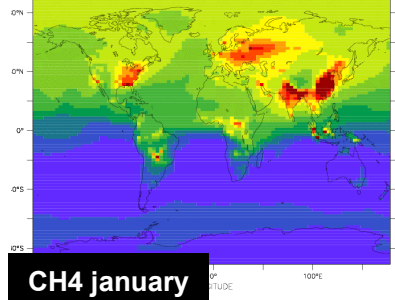
NO2 january

$\text{NO2}[\text{K}=19, \text{L}=1]*1\text{E}9$



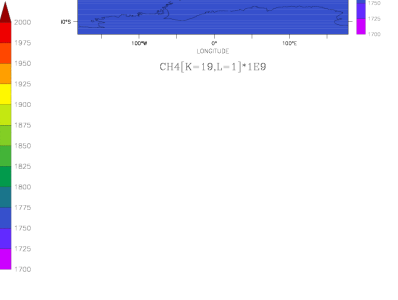
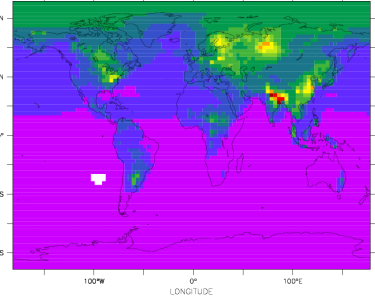
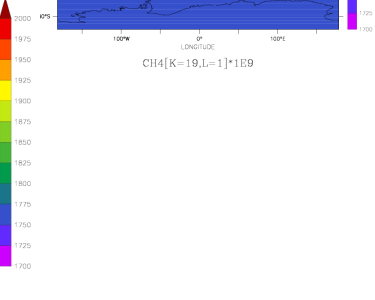
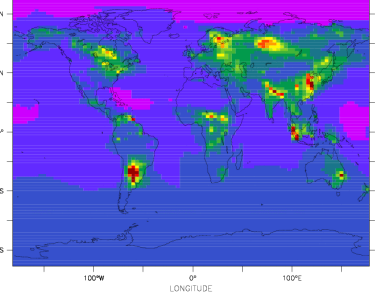
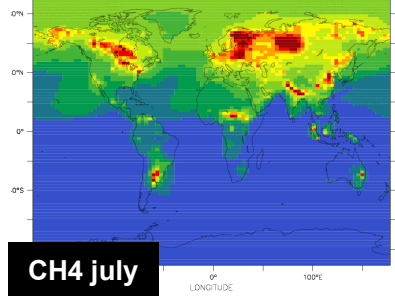
NO2 july

$\text{NO2}[\text{K}=19, \text{L}=7]*1\text{E}9$



CH4 january

$\text{CH4}[\text{K}=19, \text{L}=1]*1\text{E}9$



CH4 july

$\text{CH4}[\text{K}=19, \text{L}=7]*1\text{E}9$

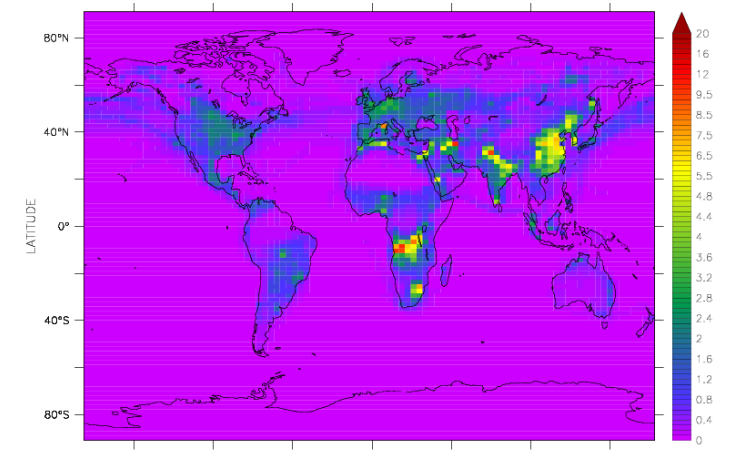
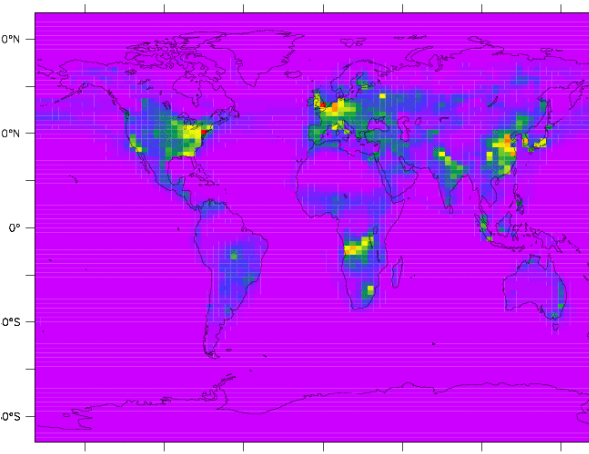
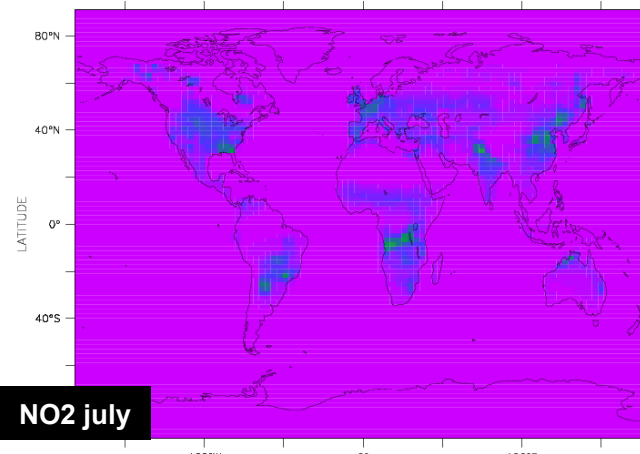
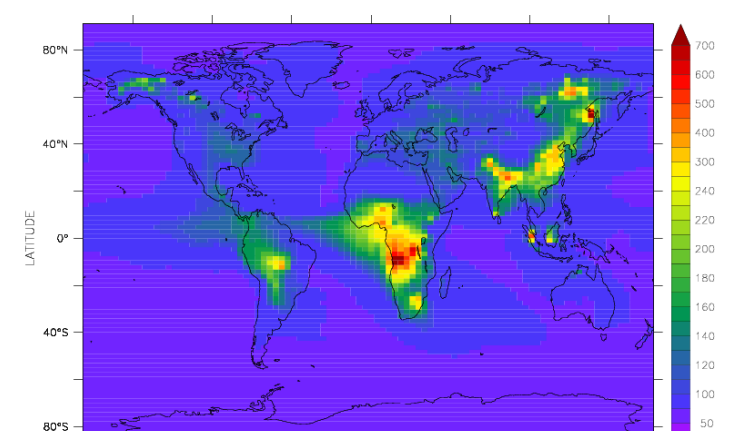
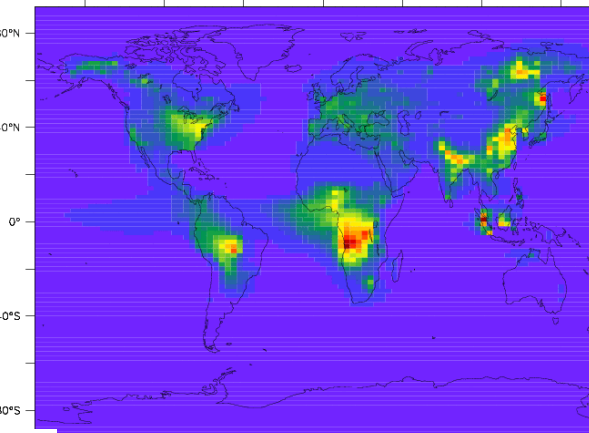
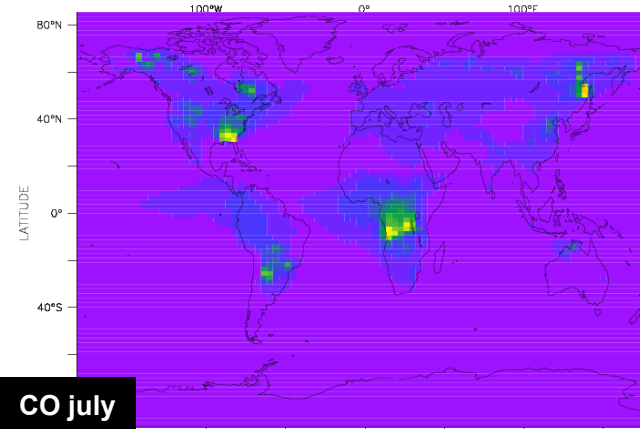
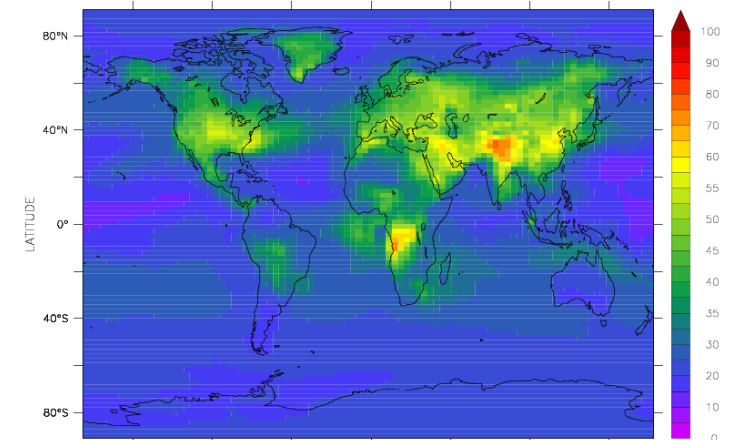
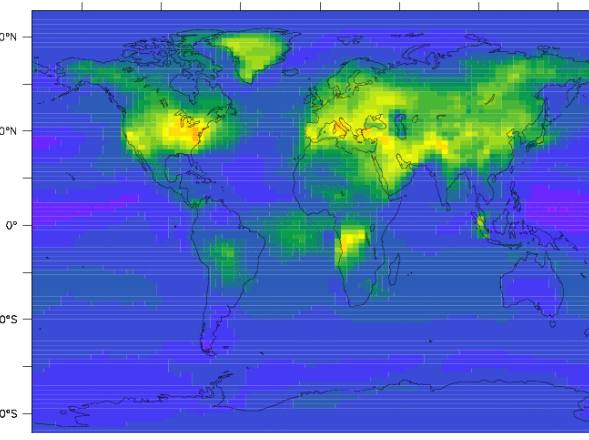
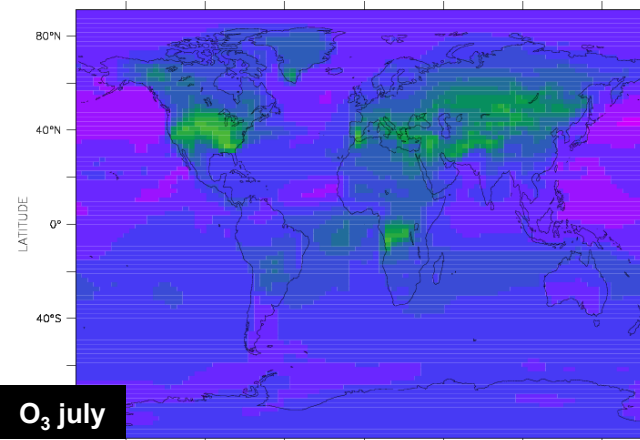
LOI_IPCC_3 puis RCP85

[O3] [CO] [NO2] en surface

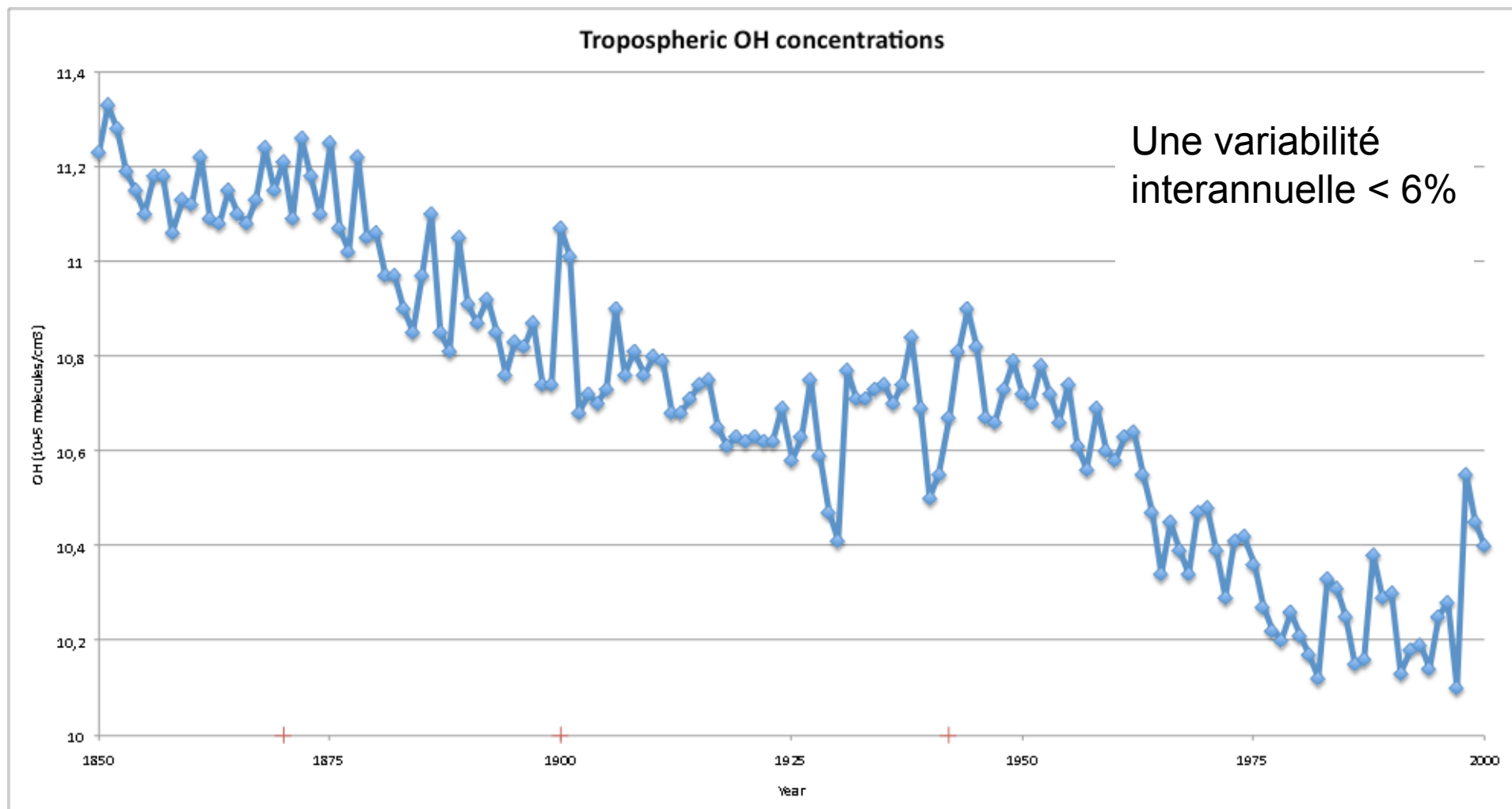
1850

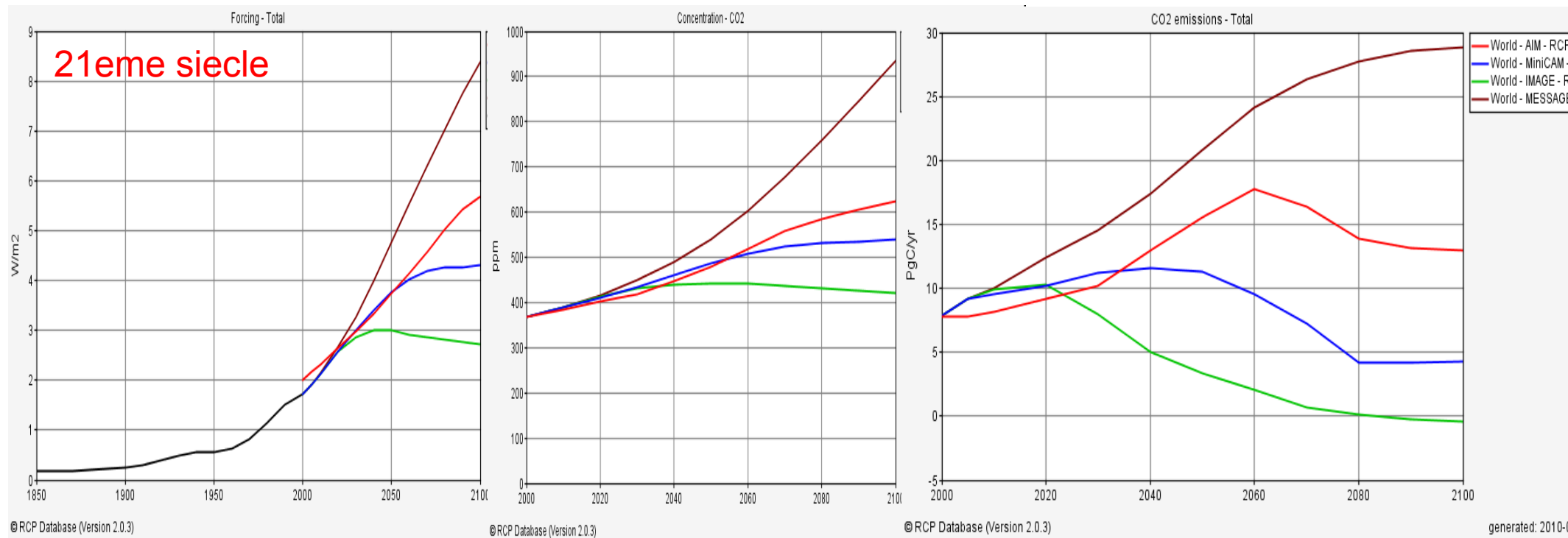
2000

2050



Evolution de OH, puits chimique des hydrocarbures, du methane et du monoxyde de carbone





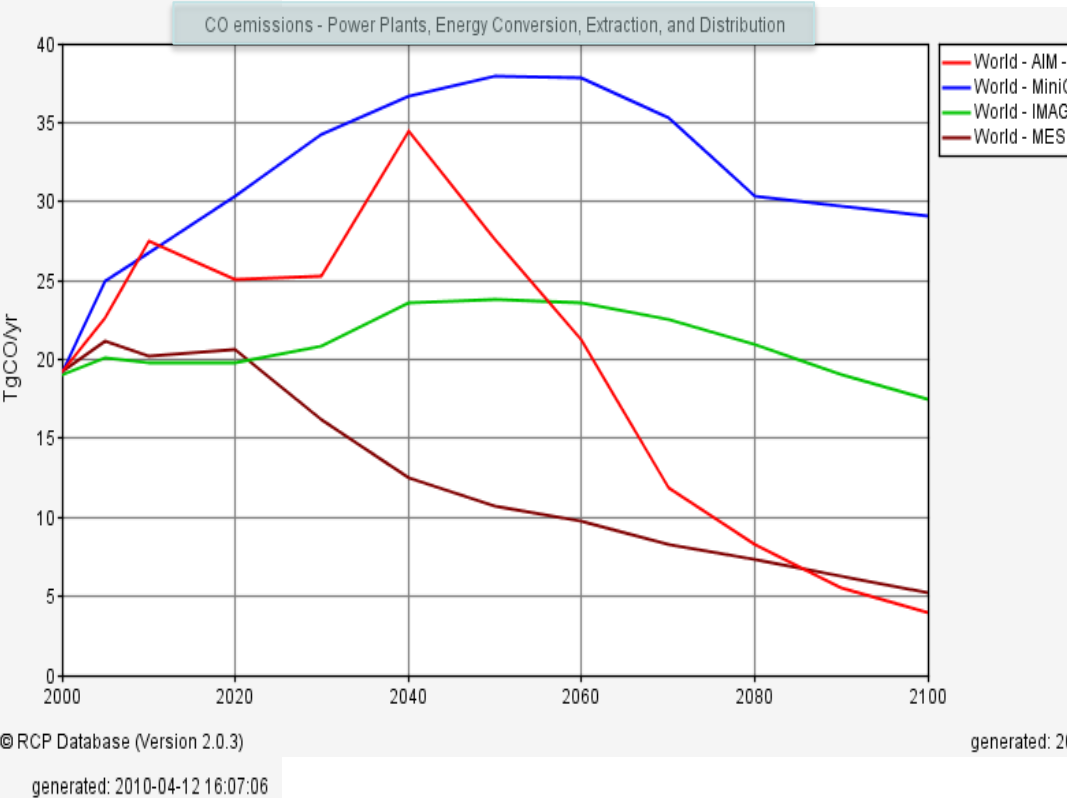
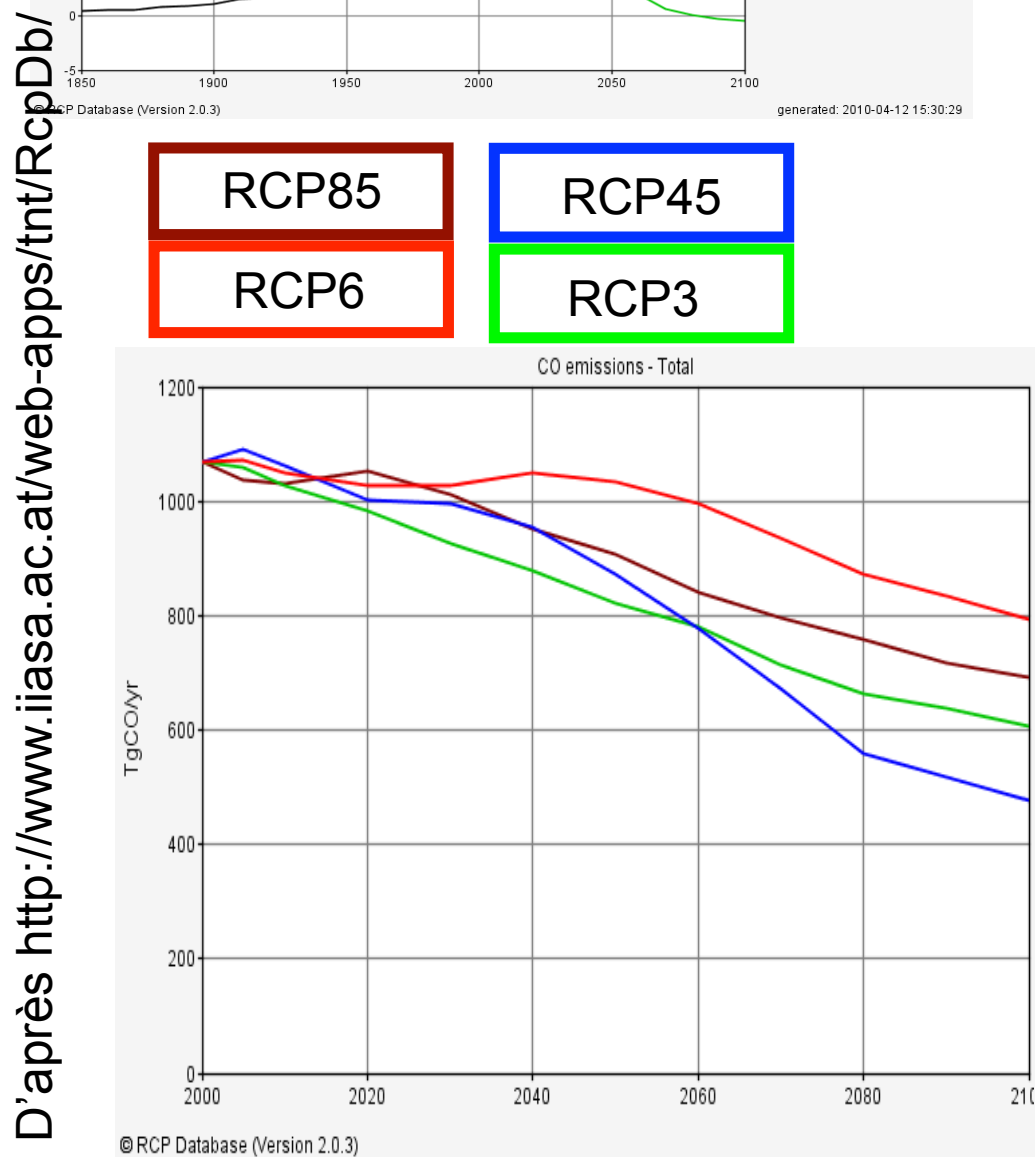
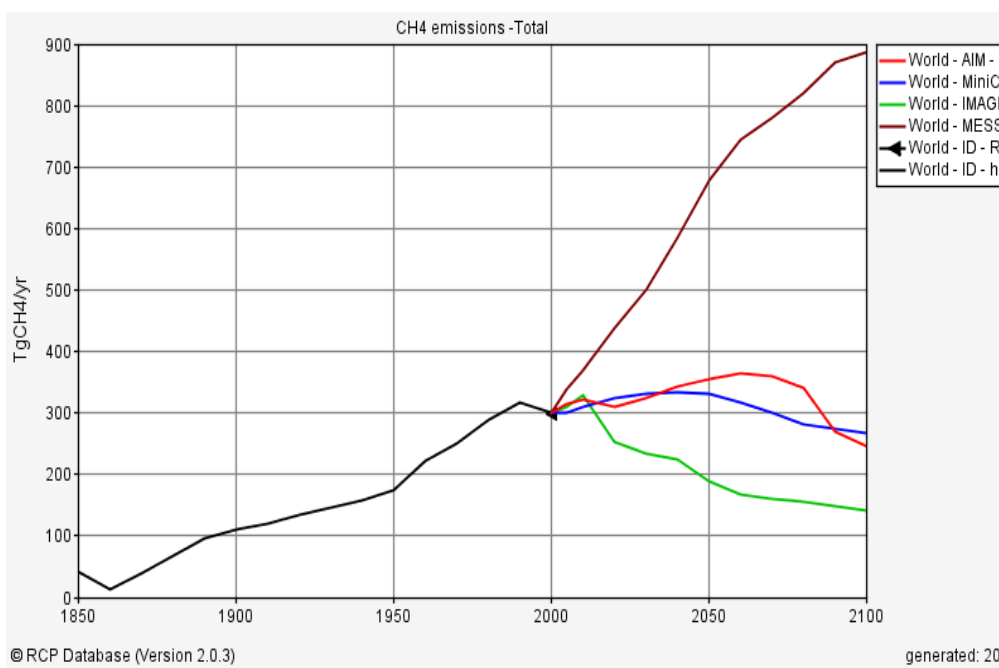
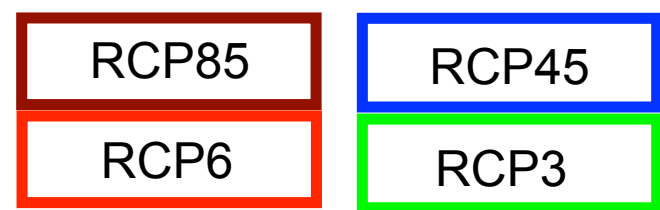
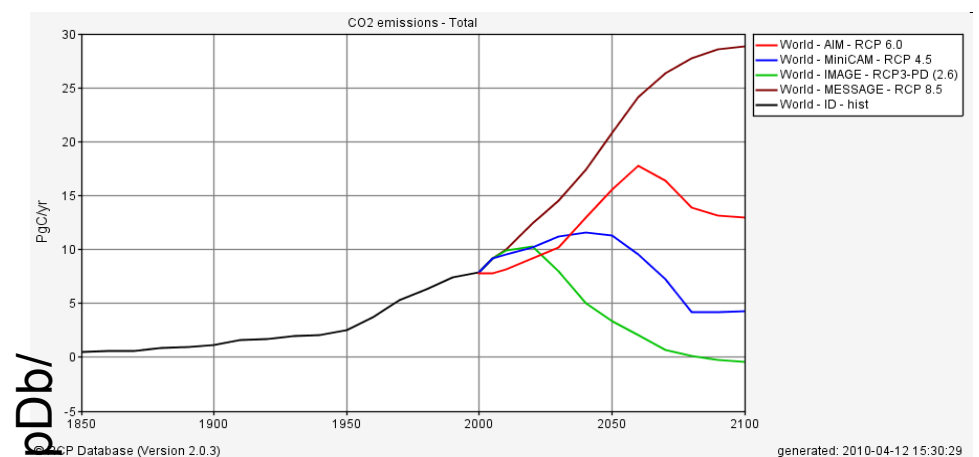
	Description ¹	Publication – IA Model
RCP8.5	Rising radiative forcing pathway leading to 8.5 W/m^2 in 2100.	Riahi et al. (2007) – MESSAGE
RCP6	Stabilization without overshoot pathway to 6 W/m^2 at stabilization after 2100	Fujino et al. (2006) and Hijioka et al. (2008) – AIM
RCP4.5	Stabilization without overshoot pathway to 4.5 W/m^2 at stabilization after 2100	Clarke et al. (2007) – MiniCAM
RCP3-PD ²	Peak in radiative forcing at $\sim 3 \text{ W/m}^2$ before 2100 and decline	van Vuuren et al. (2006, 2007) – IMAGE

Notes:

¹ Approximate radiative forcing levels were defined as $\pm 5\%$ of the stated level in W/m^2 relative to pre-industrial levels. Radiative forcing values include the net effect of all anthropogenic GHGs and other forcing agents.

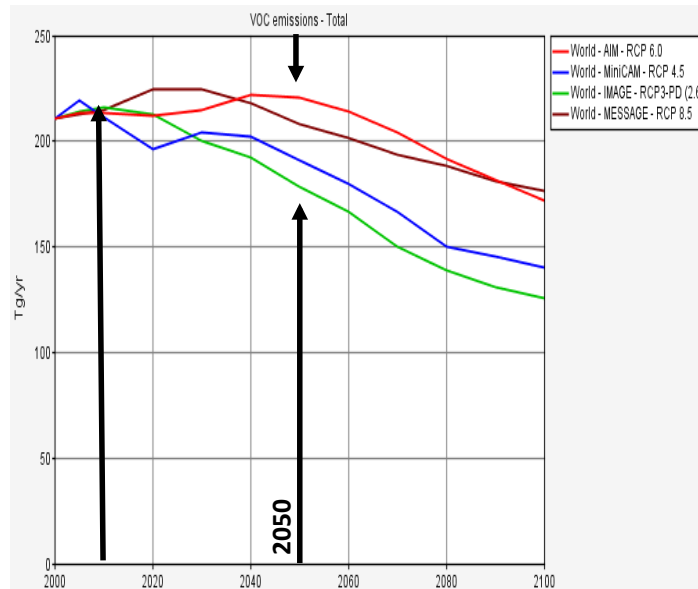
² PD = peak and decline.

D'après <http://www.iiasa.ac.at/web-apps/tnt/RcpDb/>

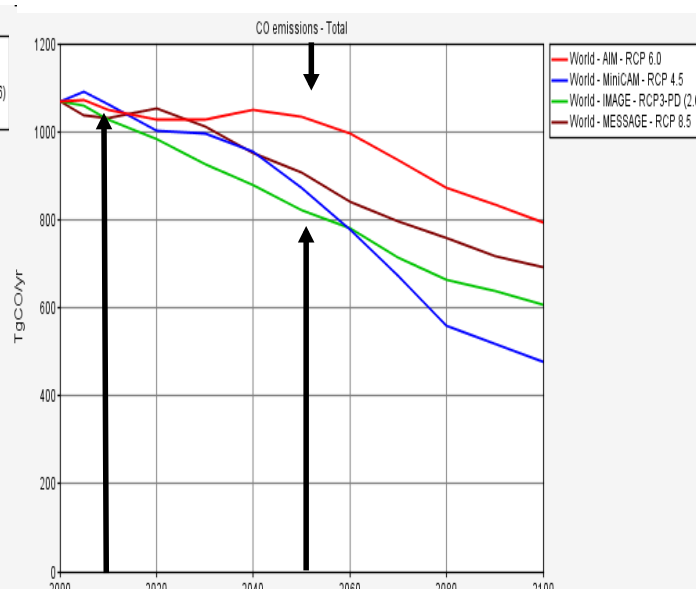


D'après <http://www.iiasa.ac.at/web-apps/tnt/RcpDb/>

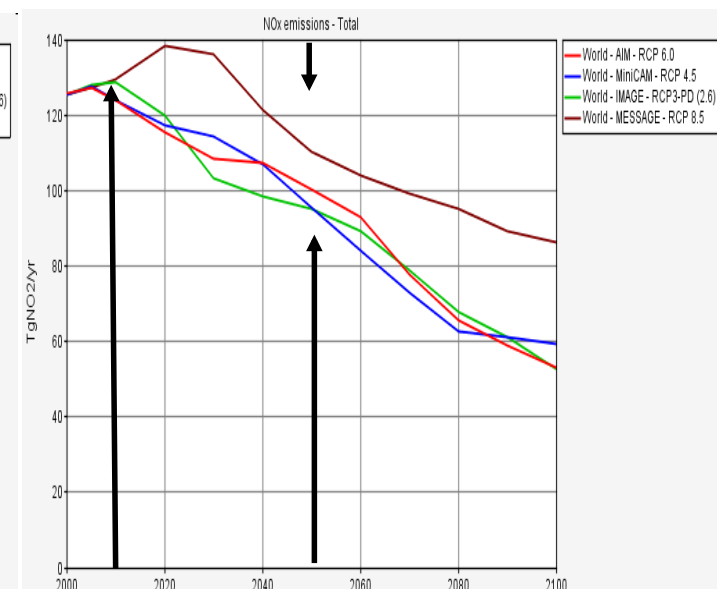
Evolution des Emissions mondiales des précurseurs d'ozone et d'aérosols pour les différents scénarios RCP



© RCP Database (Version 2.0.3)



generated: 2010-04-12 16:22:43 © RCP Database (Version 2.0.3)



generated: 2010-04-12 16:07:06 © RCP Database (Version 2.0.3)

generated: 2010-04-12 16:22:23

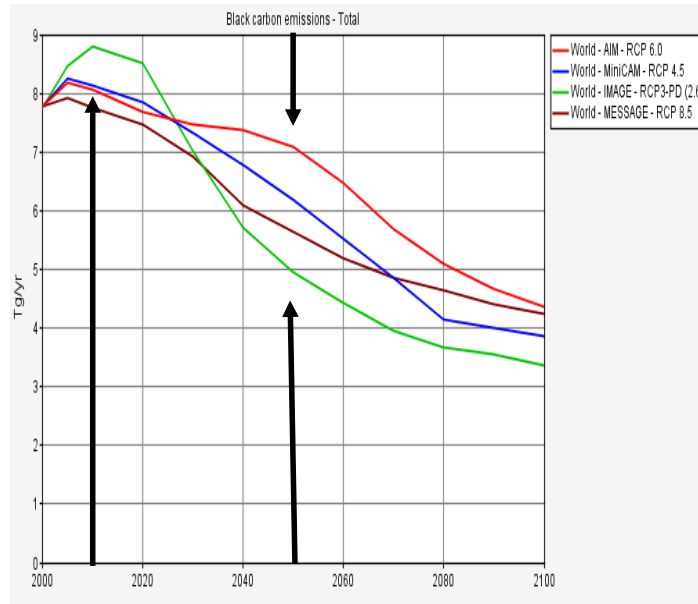
RCP85

RCP6

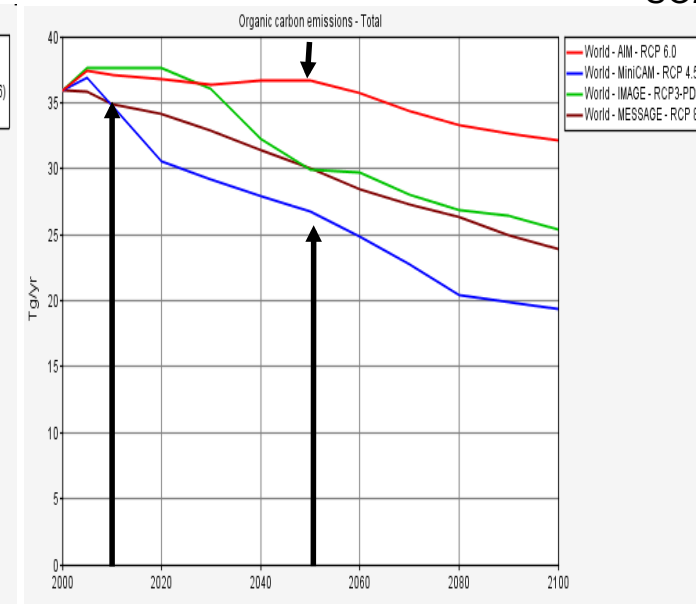
RCP45

RCP3

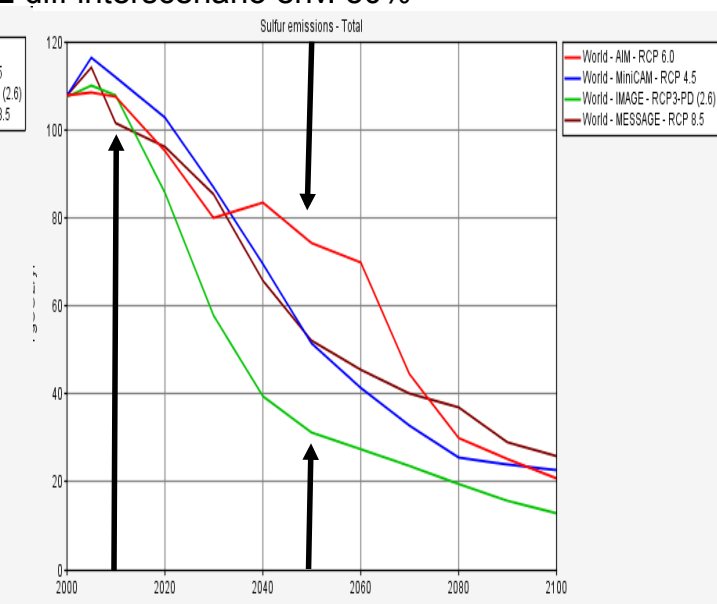
RCP6 : développement en Asie très différent
OC et BC diff inter scenario <20%
SO2 diff interscenario env. 50%



© RCP Database (Version 2.0.3)



generated: 2010-04-12 16:20:59 © RCP Database (Version 2.0.3)



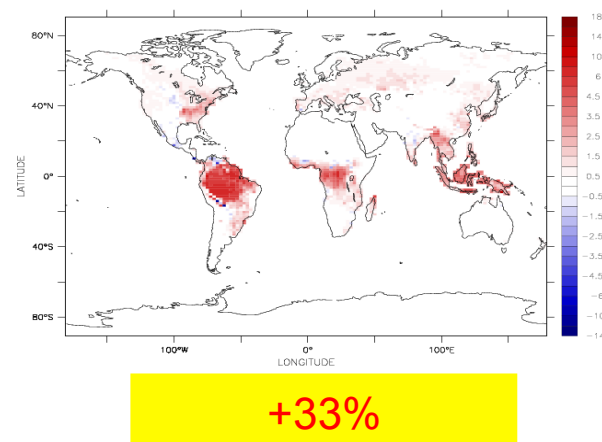
generated: 2010-04-12 16:21:52 © RCP Database (Version 2.0.3)

generated: 2010-04-12 16:19:12

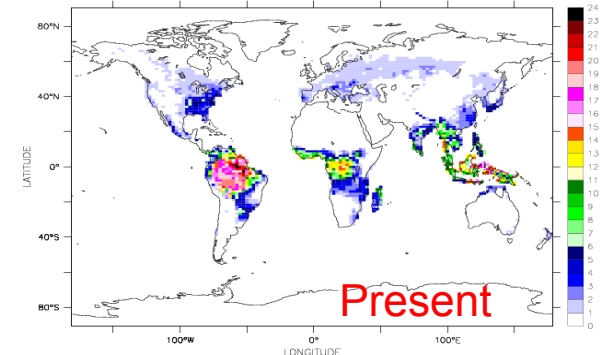
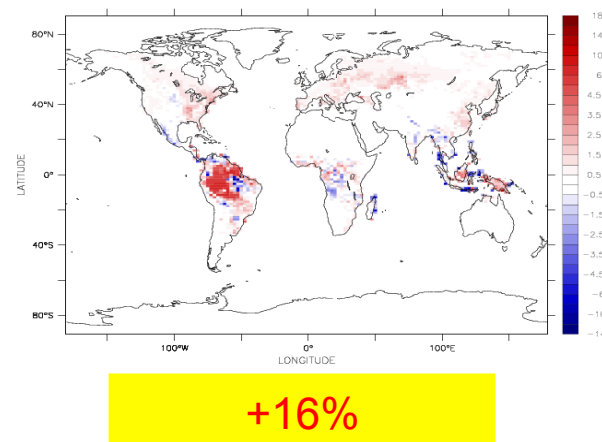
Biogenic emissions of isoprene (mgC/m²/h) → [calculés avec ORCHIDEE]

Effet des changements futurs (2050) sur les flux d'isoprène

2050 CLIMCO2

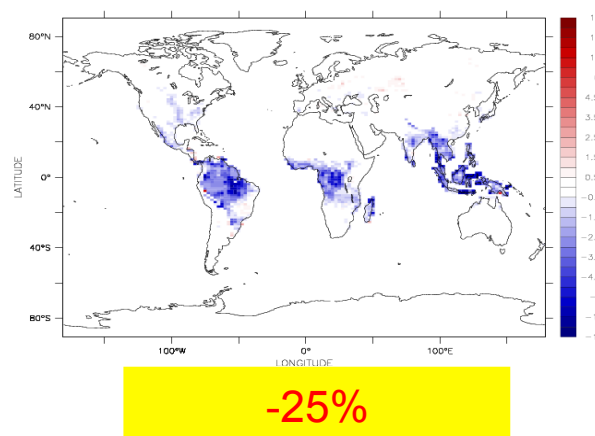


2050 CLIMCO2LU

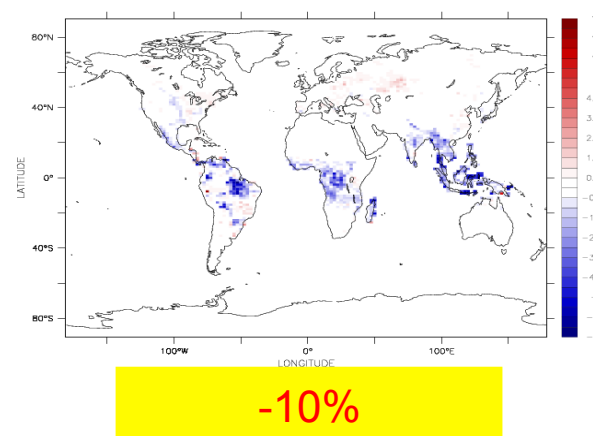


CO₂ inhibition effect (Possell et al. 2005 & Wilkinson et al. 2009)

2050 CLIMCO2LU + Poss



2050 CLIMCO2LU + Wilk



Travail en cours, Lathière et al.

Modélisation des interactions chimie-aérosols / climat pour l'AR5

Où en est-on?

1850-2000 fini

RCP8.5 en cours 2000-2095 (~2 ans/jour sur la SX9)

3 autres rcp : snapshots de 10 ans autour de 2050 et 2100

Runs futurs à refaire
avec climat RCP
cmip5 et/ou couplé
aérosol/climat

Distribution? IPSL + MeteoFrance + AC&C MIP

Validation? AC&C MIP + outils AEROCOM

Au delà des objectifs de CMIP5?

- Regionalisation des impacts climat + chimie sur qualité de l'air en Europe *PRIMEQUAL-SALUTAIR*
- Etude des changements d'albedo lié au depot dans l'Himalaya *ANR-PAPRIKA*
- discrimination des effets des différentes sources des aérosols sur snapshots *EU COMBINE*
- Couplages chimie-vegetation *LEFE BOTOX*
- Effet chimie NH₃ et nitrates

FIN

Atmospheric Chemistry & Climate Model Intercomparison Project (ACC-MIP)

Groups that have agreed to participate thus far:

CCC (Canada), CCSR (Japan), DLR (Germany), ECHAM (Germany), Hadley Centre/Met Office (UK), LSCE/IPSL (France), NASA GISS (USA), NCAR (USA), NOAA GFDL (USA), MRI (Japan)

Experiment specifications

ACCMIP_1: Timeslice runs complementing CMIP5

Timeslice runs including detailed chemistry diagnostics and separating aerosol indirect effects. Each run 4 years with **prescribed SSTs taken from AR5 runs** (SSTs should ideally be decadal means around given years), 2-month initialization suggested.

8 historical times

Total of 38 simulations, so ~158 model years (years not marked with I are second priority except 2000, as are year 2000 emissions/future SST runs, leaving those out gives 27 simulations).

5 future times

For 2050 and 2100 (RCP 8.5), additional run with that year's SSTs/GHGs but 2000 emissions.

Historical simulations

Emissions/Configuration	1850	1890	1910	1930	1950	1970	1990	2000
Historical/with AIE	A	B	A	B	A	B	A	A
Historical/no AIE	A		A		A			A

Future simulations

Emissions/Configuration	2010	2030	2050	2070	2100
RCP 2.6/with AIE	A	B	A	B	A
RCP 2.6/no AIE	A		A		A
RCP 4.5/with AIE	A	B	A	B	A
RCP 4.5/no AIE	A		A		A
RCP 8.5/with AIE	A	B	A	B	A
RCP 8.5/no AIE	A		A		A
Year 2000/with AIE, RCP 8.5 SSTs/GHGs			B		B

A=required, B=second priority, blank=not requested

ACCMIP_2: Emission sensitivity studies

Run at year 2050 (SSTs from #1), 1 year runs (+2-month initialization), model's own distribution of given emission scaled uniformly:

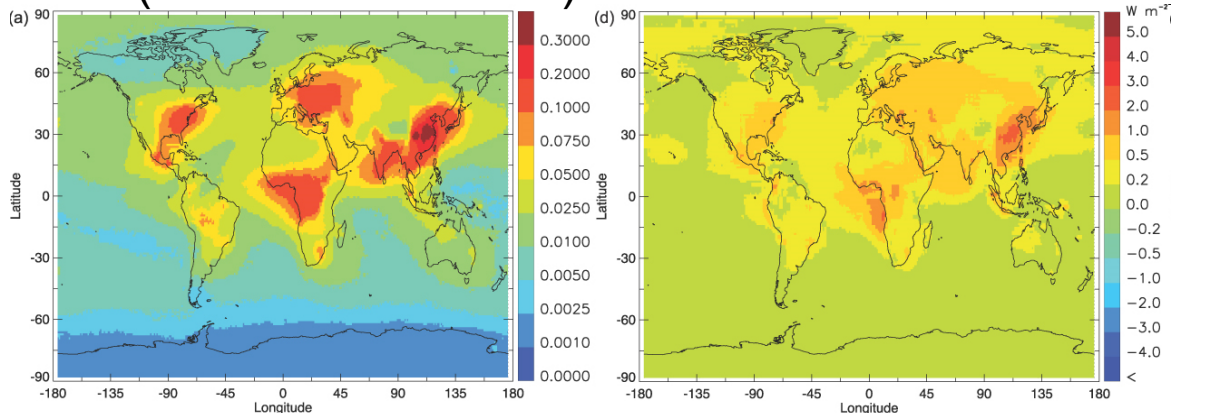
- 2.1: +100 Tg isoprene
- 2.3 +20% biomass burning (all species)
- 2.4: +50 Tg methane (3 year run in this case, only applicable for models with sources/sinks of methane rather than prescribed)
- 2.5: +2 Tg N/yr lightning NOx

We assume the effects of varying dust, sea-salt and DMS emissions can be adequately accounted for with emission and removal diagnostics.

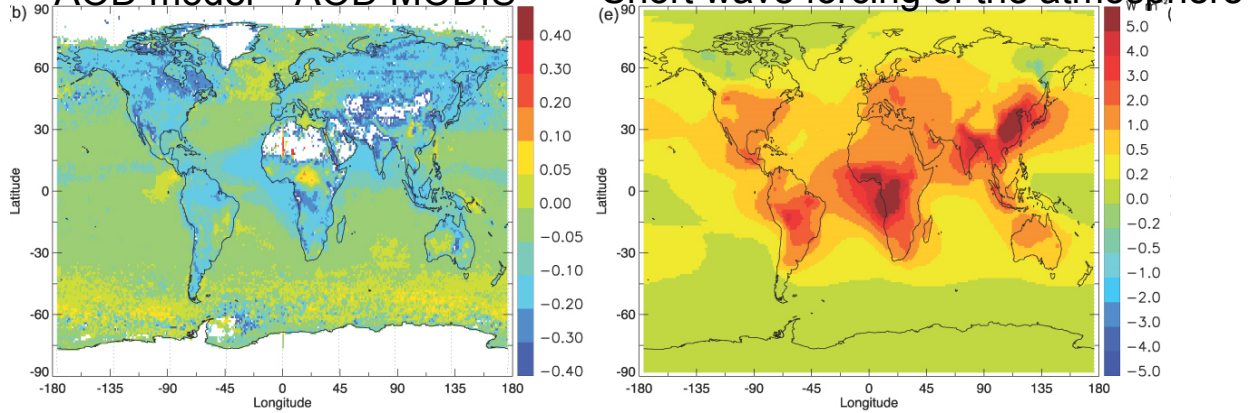
[total model years requested is 6.5]

Combined anthropogenic aerosol effect

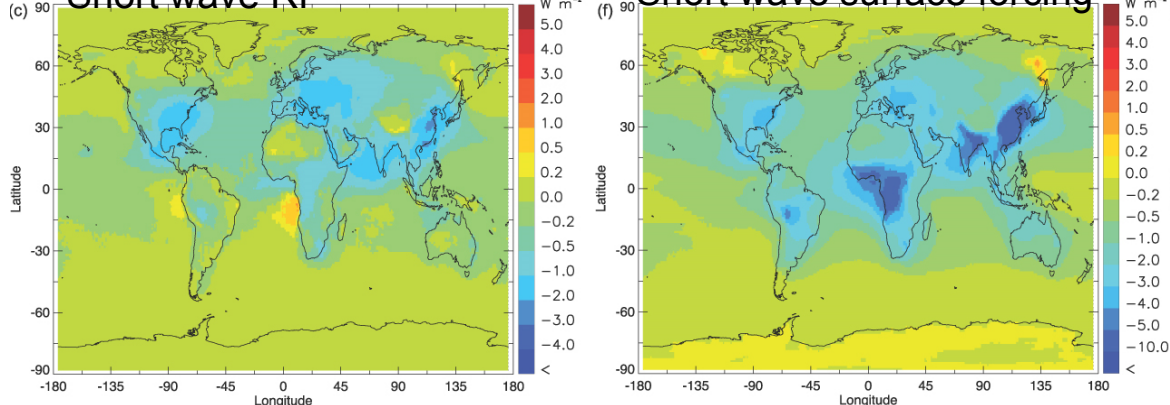
AOD (9 aerocom models) Standard dev of RF in the 9 models



AOD model – AOD MODIS



Short wave RF



Moyenne globale de l'effet direct

Simulation de contrôle 2000

Comparaison LMDZ-INCA / AEROCOM

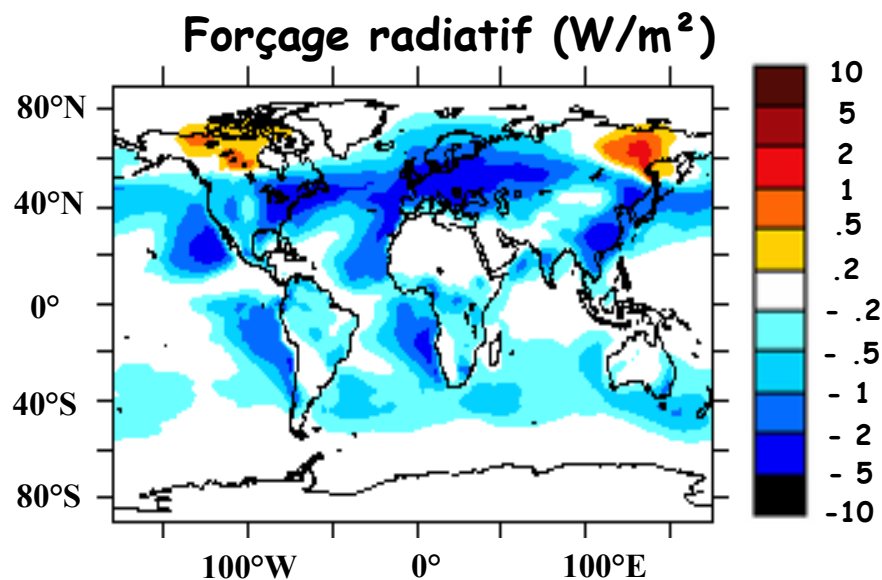
LMDZ-INCA
(noir)

AEROCOM
(rouge), Schulz
et al., 2006;
ACP.

	Optical Depth at 550nm x100	Direct Radiative Forcing (W/m ²)
SO4	2.6 1.9 ± 0.9	-0.32 -0.35 ± 0.15
POM	1.3 0.8 ± 0.5	-0.12 -0.14 ± 0.05
BC	0.3 0.22 ± 0.12	+ 0.38 0.25 ± 0.08

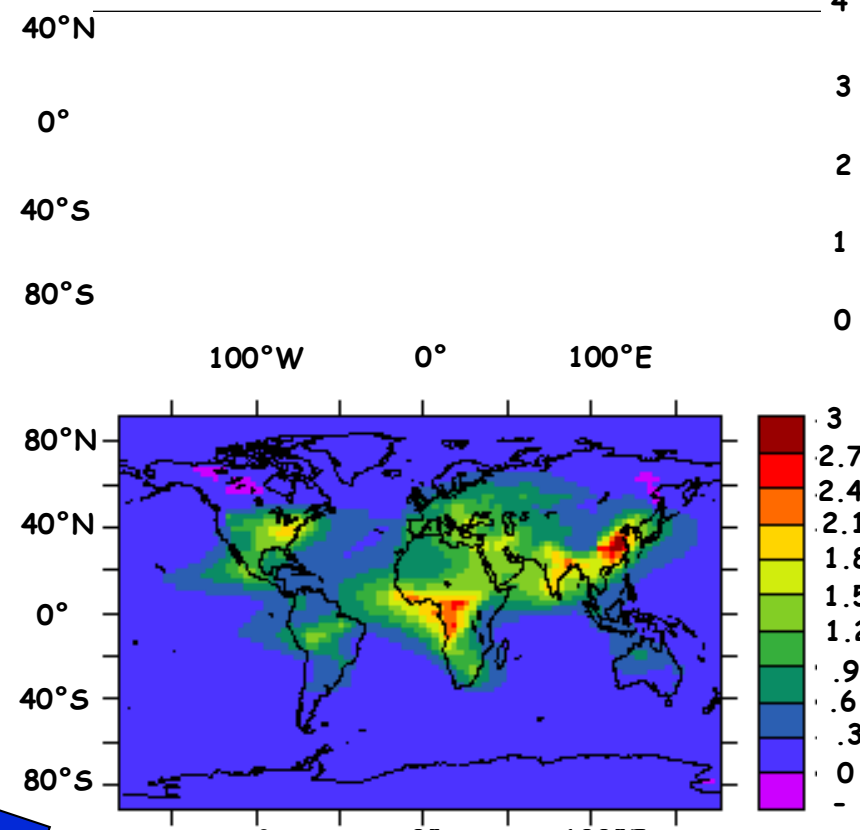
SO4 et POM \Rightarrow LMDZ-INCA dans la gamme AEROCOM
BC \Rightarrow surestimation du FR

Estimation du 1^{er} effet indirect



contenu en eau liquide (10^5 kg/kg):

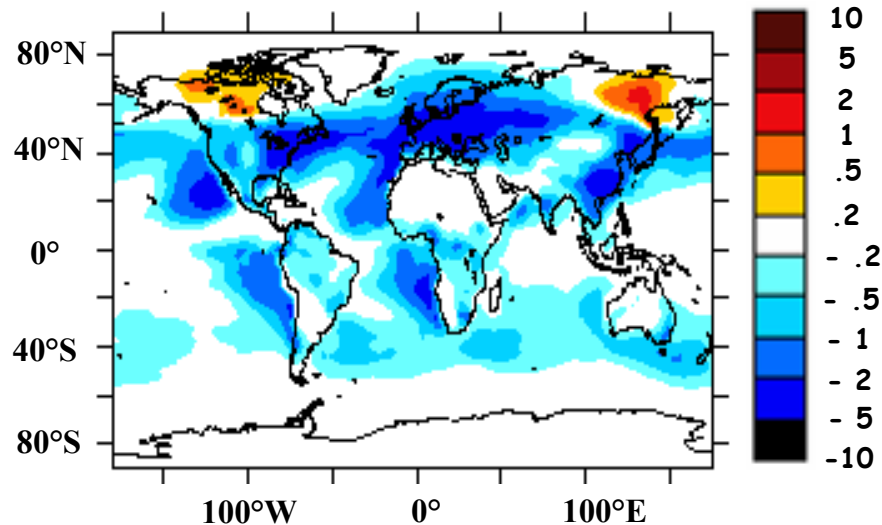
A color bar on the right ranges from 0 to 5 10^5 kg/kg .



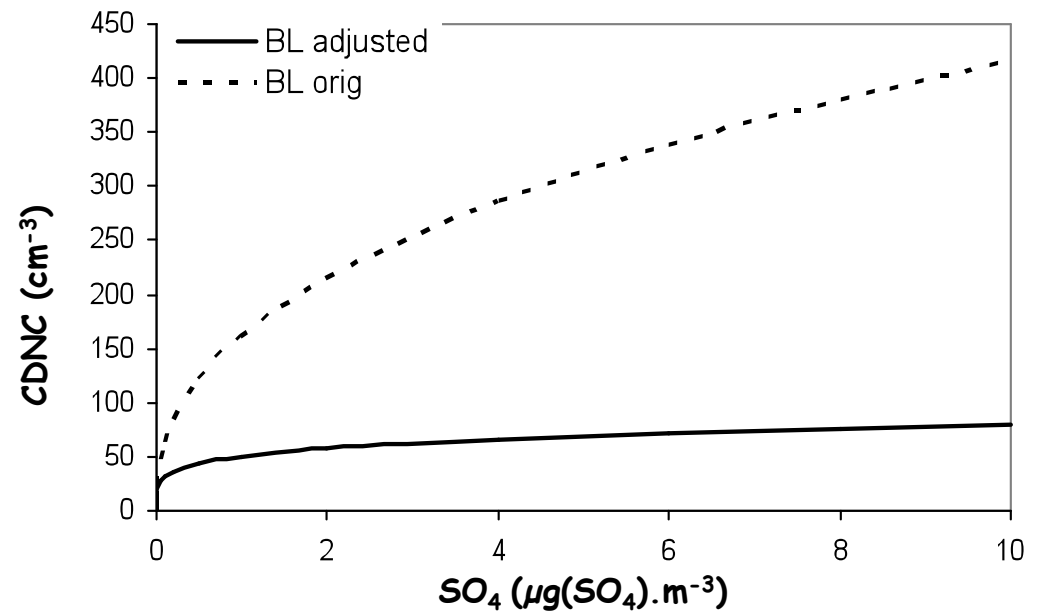
Différence de concentration d'aérosols
2000 - 1750 ($\mu\text{g/m}^3$)

Non linéarité du 1^{er} effet indirect

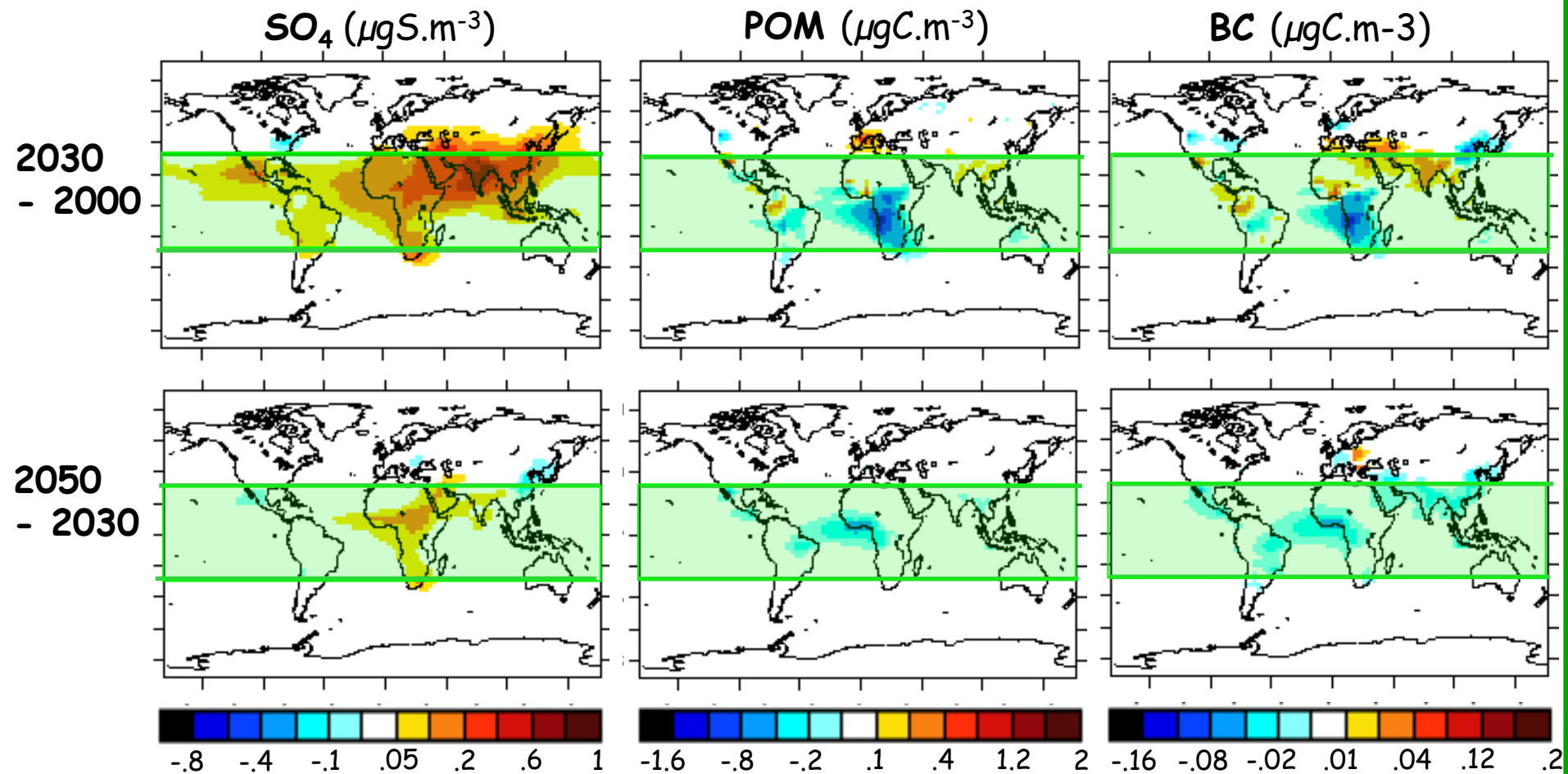
Forçage radiatif (W/m^2)



Relation microphysique $\text{CDNC} = f(m_a)$

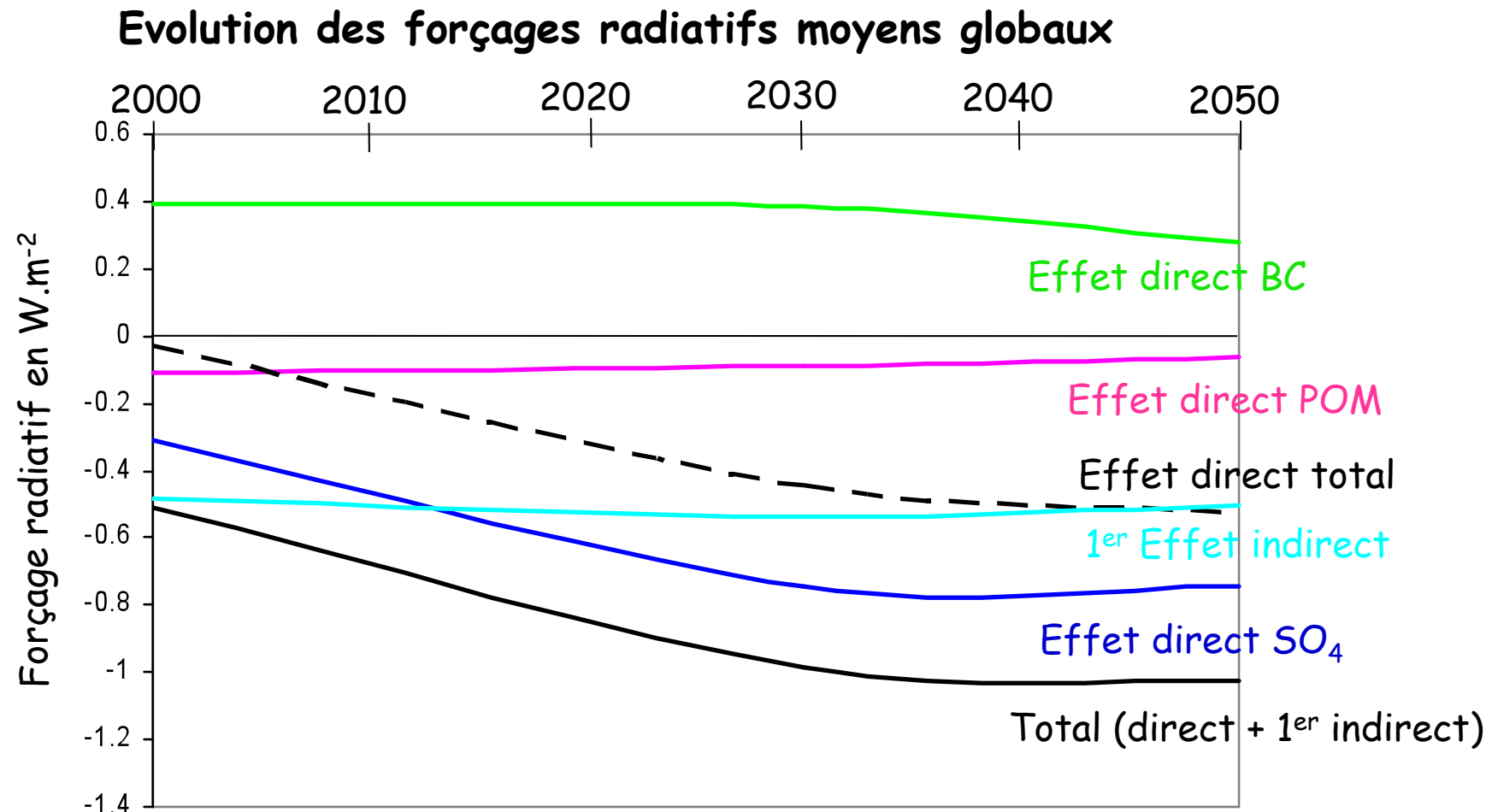


Distribution régionale du changement de concentrations en particules anthropiques

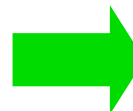


Régions tropicales fortement affectées

Evolution du forçage radiatif 2000-2050:



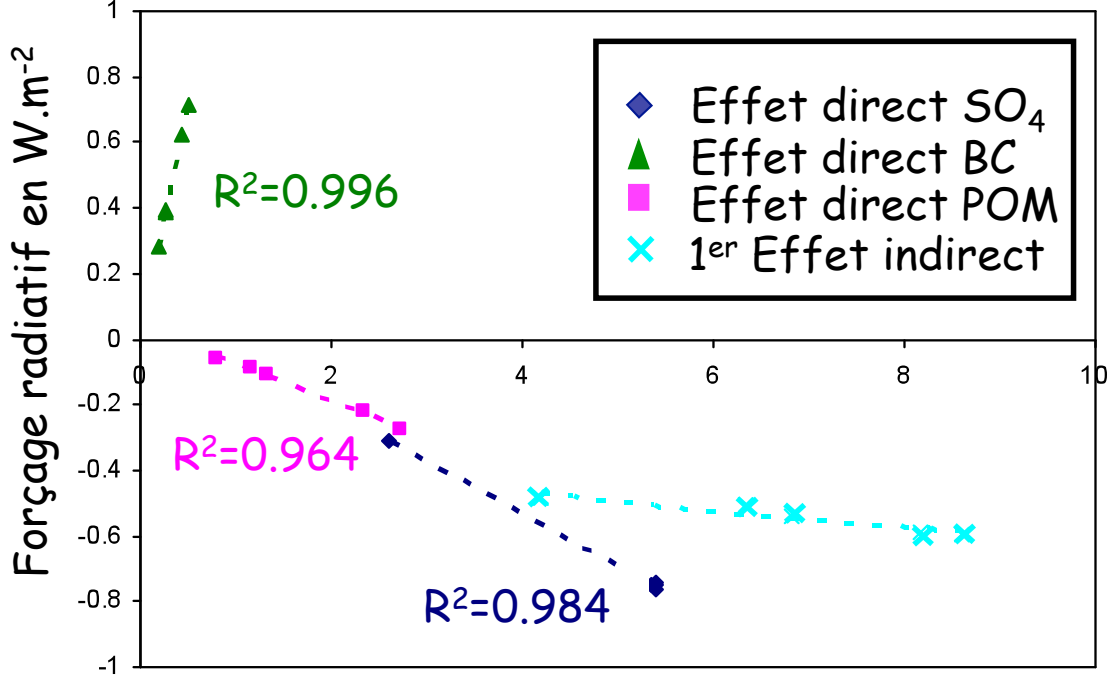
$\Delta F_{R\text{total}}$
 $\sim \Delta F_{SO_4}$



FAUX
régionalement

Corrélation entre forçages radiatifs et contenu atmosphérique

Forçage radiatif = $f(\text{contenu atmosphérique})$



Contenu atmosphérique en TgS, TgC (effet direct)
et Tg(C+S) pour le 1^{er} effet indirect

Possibilité d'extrapoler
l'effet direct à partir du
contenu atmosphérique

Efficacité Radiative:

$$ER = \frac{\text{FRdirect}}{\text{contenu aérosol}}$$

Pente =
efficacité
radiative

Pour le 1^{er} effet
indirect on a un effet
de saturation

Quoi de neuf pour les modèles utilisés?

CM3.1

ARPEGE-Climat
ISBA
- biophysique
OPA8
GELATO
TRIP

CM3.3

ARPEGE-Climat v4
-Nouvelle dynamique
-Effet indirect aérosols
-Volcans
-Schéma linéaire ozone
ISBA
-Utilisation des sols
-Conservation revue

Vers CM5

ARPEGE-Climat v5 (physique en cours
définition)
SURFEX (surface externalisée)
NEMO3 1°
GELATO
TRIP
+ CERFACS pour projection
décennales

2004-2006

AR4

2007-2008

ENSEMBLES

2009-2010

AR5

IPSLCM4

LMDZ3.3 96x71x19
-Sulfates lus
ORCHIDEE
- biophysique
ORCA2 (OPA9)
LIM2

LOOP

IPSL_CM4 +
ORCHIDEE
-carbone
PISCES
-Biogéochimie
marine

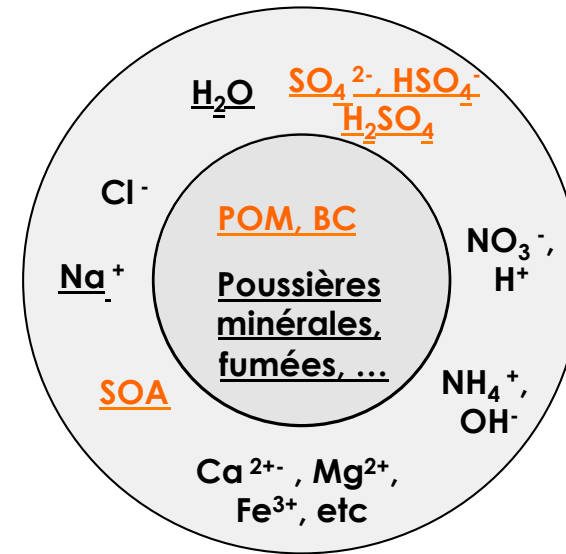
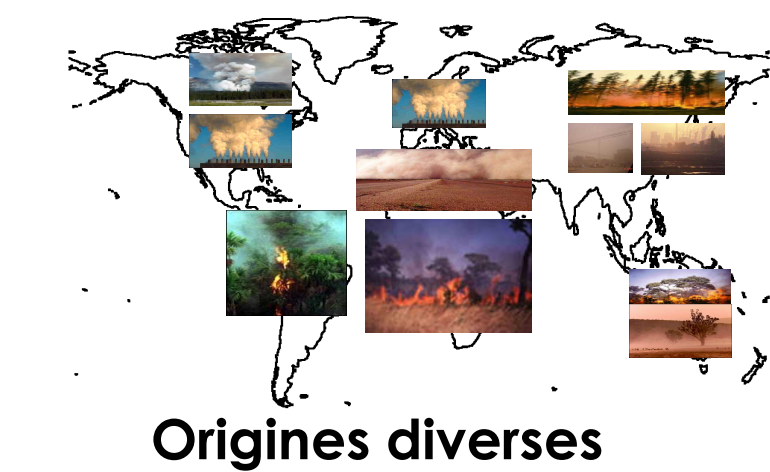
IPSLCM4_v2

LMDZ4 144x143x19
-Sulfates lus
-Volcans
-Cte solaire
ORCHIDEE
-Biophysique
-Utilisation des sols
+ conservation couplages
revue

IPSLCM5

LMDZ4 96x95x39 et 144x143x39
-Version //
-Aérosols prescrits par INCA (SO4, BC, POM,
poussières, sels de mer)
-Ozone prescrit par Reprobus
-Transport CO2
-ORCHIDEE1.9.4
-Utilisation des sols + carbone
-NEMO 2° tests physique en cours
-LIM2
+ quelques simulations aérosols interactifs
IPSLCM6 : nouvelle physique
atmosphérique

Complexité liée à Diversité de taille, sources, composition



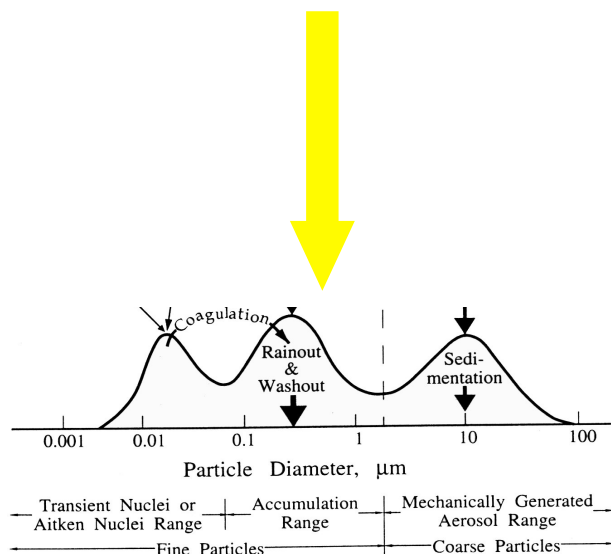
Composition variée

Aérosol Carboné:

POM = Matière Organique Particulaire

BC = Carbone graphite

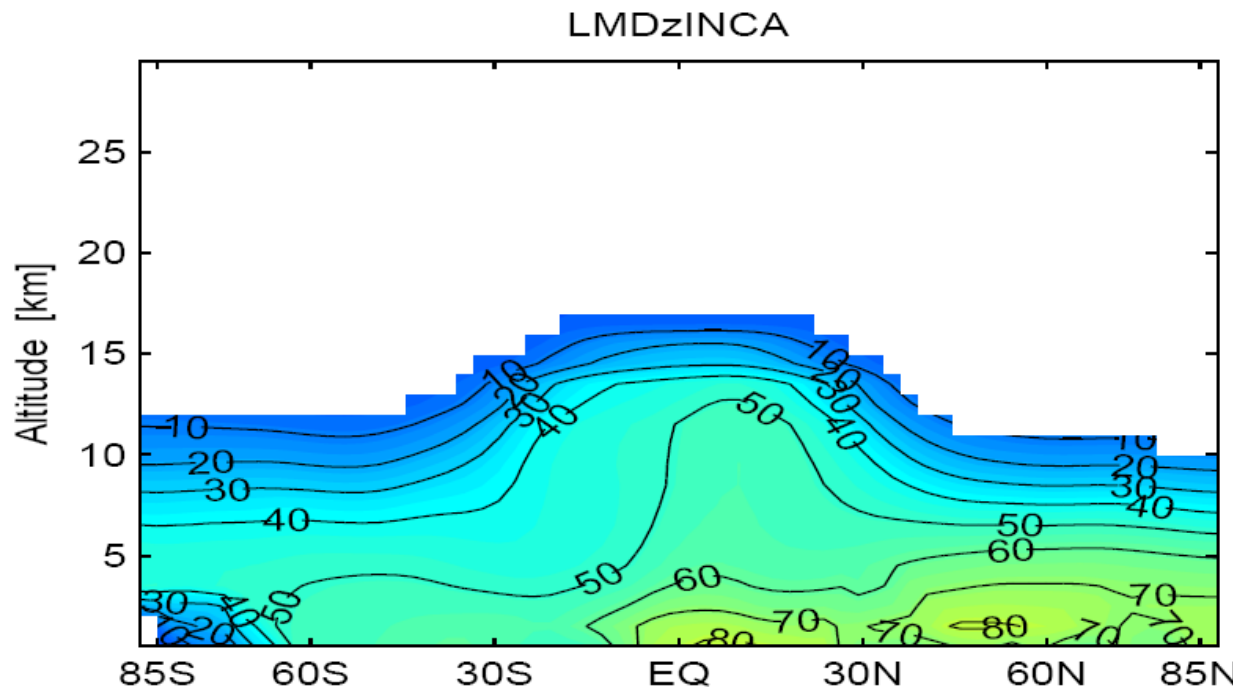
SOA = Aérosol Organique Secondaire



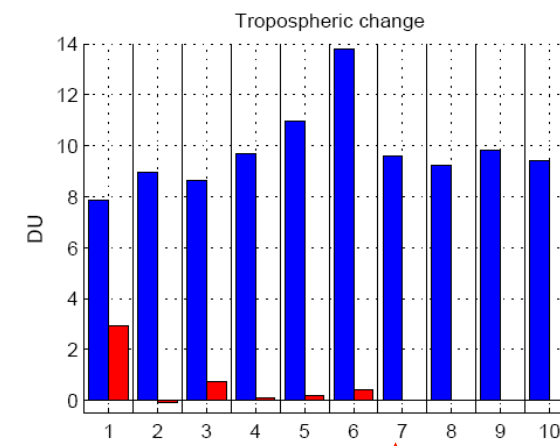
Taille variée

- Propriétés optiques
- Hygroscopicité

Comparison with ozone changes between 1850 and 2000 investigated by Gauss et al. 2006



Annually averaged zonal-mean ozone change (%) between 1850 and 2000 when taking into account chemical change only



Change (DU) in the annual-mean (a) tropospheric ozone column between 1850 and 2000. Blue bars: "2 minus 1c", reflecting chemical change. Red bars: "1c minus 1", reflecting climate change only.

	"2 minus 1"		"2 minus 1c/1b"		"2 minus 1a"	
	DU T	DU S	DU T	DU S	DU T	DU S
ULAQ	10.8	-12.6	7.9	-17.5	-2.6	-18.3
DLR_E39C	8.9	-16.1	9.0	-23.5	-2.1	-17.9
NCAR_MACCM	9.4	-12.7	8.6	-20.1		
CHASER	9.8	-14.1	9.7	-14.1	-1.2	-14.8
STOCHEM_HadGEM1	11.1		10.9			
UM_CAM	14.2		13.8			
LMDzINCA			9.6			
STOCHEM_HadAM3			9.2			
UIO_CTM2			9.8	-28.6		
FRSGC_UCI			9.4	-24.4	2.2	-25.4

Annually averaged total ozone change for the differences "2 minus 1" (effect of both chemical and climate change), "2 minus 1c" (effect of chemical change only), and "2 minus 1a" (effect of chemical change in the stratosphere only). For LMDzINCA, UM CAM, and STOCHEM HadAM3 "2 minus 1b" is shown instead of "2 minus 1c", since these models do not include stratospheric chemistry schemes.

Simulation LOI_IPCC_3 – 1850-1900 OH varie de moins de 3% lors des rattrapages de CH4

LONGITUDE : 178.1E(-181.9) to 178.1E (XY integ.)
LATITUDE : 90.9S to 90.9N (XY integ.)
Z (mb) : 100427

FERRET
NOAA/PHSL TMP
Date 18 2008 17:08:02

DATA SET: LOI_IPCC_3_1850to1900_AM_inca_avgr

